

تحلیل دینامیکی حالت گذرای دوبعدی شبه کریستال‌های با ساختار ده‌وجهی تحت بارگذاری به صورت شوک با استفاده از روش بدون مش اختلاف محدود تعمیم یافته*

سید محمود حسینی^(۱)

چکیده در این مقاله، تحلیل دینامیکی حالت گذرا با استفاده از روش بدون مش اختلاف محدود تعمیم یافته (*The meshless generalized finite difference method*) در شبه کریستال‌های با ساختار ده‌وجهی (*Decagonal quasicrystals*) انجام شده است. مطالعه بر روی تغییرات حالت گذرای تغییر مکان‌های فونونی و فیزی در این نوع از شبه کریستال‌ها که تحت تأثیر بارگذاری به صورت شوک مکانیکی می‌باشند، از جمله اهداف این پژوهش می‌باشد. همچنین توسعه کاربرد روش بدون مش بیان شده برای حل دینامیکی مواد شبه کریستال را با در نظر گرفتن کوپلینگ بین میدان‌های تغییر مکان‌های فونونی (*Phonon displacement*) و فیزی (*Phason displacement*) از دیگر اهداف این مقاله می‌توان برشمرد. در معادلات حاکم بر مسئله ارائه شده در این مقاله، برهمکنش بین تغییر مکان‌های فونونی و فیزی با در نظر گرفتن کوپلینگ بین این تغییر مکان‌ها با اعمال ضریب کوپلینگ لحاظ شده است، که این مورد باعث به دست آمدن معادلات تعادل دینامیکی به صورت دسته معادلات دیفرانسیل جزئی کوپل، شده است. برای به دست آوردن رفتار حالت گذرای تغییر مکان‌های فونونی و فیزی، ناحیه‌ای مستطیلی و دوبعدی از جنس شبه کریستال با ساختار ده‌وجهی (*Al-Ni-Co*) در نظر گرفته شده است، به طوری که یکی از وجوه آن تحت تأثیر بارگذاری شوک اعمال شده بر میدان تغییر مکان‌های فونونی می‌باشد. باتوجه به وجود کوپلینگ بین میدان‌های تغییر مکان، تحریک ایجاد شده در میدان تغییر مکان فونونی باعث بروز آشفتگی و تغییرات در میدان تغییر مکان فیزی نیز می‌شود. برای حل معادلات حاکم بر مسئله کلیه روابط استخراج شده با استفاده از تبدیل لاپلاس به محیط لاپلاس منتقل شده و پس از حل معادلات با استفاده از روش بدون مش اختلاف محدود تعمیم یافته، کلیه پاسخ‌های استخراج شده با استفاده از روش معکوس لاپلاس به حوزه زمان انتقال داده شده‌اند. میزان اثرگذاری هر یک از میدان‌های تغییر مکان بر یکدیگر، تأثیر پارامتر کوپلینگ و نیز ضریب میرایی میدان تغییر مکان فیزی بر رفتارهای دینامیکی حالت گذرای تغییر مکان‌ها مورد مطالعه قرار گرفته‌اند.

واژه‌های کلیدی تحلیل دینامیکی حالت گذرا، روش بدون مش، روش اختلاف محدود تعمیم یافته، مواد شبه کریستال، تغییر مکان فونونی، تغییر مکان فیزی.

Two-dimensional Transient Dynamic Analysis of Decagonal Quasicrystals subjected to Shock Loading using Meshless Generalized Finite Difference (GFD) Method

S.M. Hosseini

Abstract In this article, the transient dynamic analysis of decagonal quasicrystal (QC) is carried out using the meshless generalized finite difference (GFD) method. The transient behaviors of phonon and phason displacements in these types of QCs, when they are subjected to mechanical shock loading are studied. Also, the meshless GFD method is developed to solve the dynamic problems of QCs, considering coupling between phonon and phason displacements. The governing equations of the problem are obtained in the coupled system of PDEs by applying the coupling coefficient in the governing equations to simulate the interaction between phonon and phason displacements. A 2D rectangular domain made from decagonal (Al-Ni-Co) QCs is assumed for the problem to show the transient behaviors of phonon and phason displacements, when one side of 2D domain is excited by phonon displacement shock loading. Based on the coupling between phonon and phason displacements, any disturbance in phonon field causes some variations in phason field. To study the dynamic behaviors of phonon and phason fields, the coupled governing equations are transferred to Laplace domain. After analysis the problem by GFD method, the obtained results in Laplace domain are transferred to time domain using the Laplace inversion technique. The interactions between phonon and phason fields are studied in details. Also, the effects of coupling parameter and the phason friction coefficient on the dynamic and transient behaviors of phonon and phason displacement fields are obtained and discussed in details.

Key Words Transient dynamic analysis; Meshless method; Generalized finite difference (GFD) method; Quasicrystals; Phonon displacement; Phason displacement.

* تاریخ دریافت مقاله ۹۶/۸/۷ و تاریخ پذیرش آن ۹۶/۱۲/۱۲ می‌باشد. DOI: 10.22067/fum-mech.v30i1.68345

sm_hosseini@um.ac.ir

(۱) استاد، گروه مهندسی صنایع، دانشکده مهندسی، دانشگاه فردوسی مشهد.

مقدمه

در سال ۱۹۸۴ میلادی، شختمن (شکتمن) و همکاران [1] نوع جدیدی از مواد کریستالی را کشف نمودند که چون خواص آن با کریستال‌های شناخته‌شده متفاوت بود، این مواد را شبه‌کریستال نامیدند. مواد شبه‌کریستال در مقایسه با مواد کریستال متفاوت هستند و علاوه بر وجود تفاوت در خواص، ساختار آنها نیز متفاوت می‌باشد. در شبه‌کریستال‌ها دو میدان تغییر مکان مجزا وجود دارد که به آنها میدان تغییر مکان فنونی و فیزیکی اطلاق می‌گردد. این دو میدان تغییر مکان دارای برهم‌کنش هستند به طوری که ایجاد تغییرات یا آشفتنی در یکی از این میدان‌ها باعث بروز تغییر در میدان دیگر می‌شود. به عبارت دیگر تغییر مکان‌های فنونی و فیزیکی به یکدیگر کوپل هستند و همین موضوع باعث می‌شود تا معادلات حاکم و روابط ساختاری تحت تأثیر قرار بگیرند؛ لذا معادلات دینامیکی ماکروسکوپی حاکم بر این شبه‌کریستال‌ها می‌بایست با در نظر گرفتن کوپلینگ بین تغییر مکان‌های فنونی و فیزیکی استخراج شود که این مورد با اعمال ضرایب کوپلینگ بین این میدان‌ها حاصل می‌شود. تئوری‌ها و مدل‌های مختلفی برای شبیه‌سازی رفتار دینامیکی شبه‌کریستال‌ها با در نظر گرفتن خواص این مواد و وجود دو میدان تغییر مکان فنونی و فیزیکی تاکنون ارائه شده است که در ادامه به برخی از آنها اشاره خواهد شد.

فان و می [2]، شی [3] و فان [4] مدلی بر اساس معادله حرکت موج برای تحلیل‌های الاستودینامیک مواد شبه‌کریستال ارائه نمودند. همچنین مدل دیگری وجود دارد که بر اساس روابط و اصول الاستوهیدرو دینامیک استخراج شده است [5, 6]. در تحلیل‌های دینامیکی مواد شبه‌کریستال از مدل‌های مذکور (مدل مبتنی بر حرکت موج و مدل مبتنی بر روابط الاستوهیدرو دینامیک) استفاده زیادی شده است که در ادامه برخی از مهم‌ترین پژوهش‌های

صورت گرفته مورد بررسی قرار می‌گیرند. راجل و لرمین [7] راه‌حلی تحلیلی به منظور تحلیل گسترش موج در مواد شبه‌کریستالی با ساختار بیست‌وجهی ارائه نمودند. آنها همچنین در پژوهشی دیگر [8] مدلی برای تحلیل‌های الاستودینامیک مواد شبه‌کریستالی ارائه نمودند که ترکیبی از دو مدل مبتنی بر حرکت موج و الاستوهیدرو دینامیک بود. با استفاده از مدل ارائه‌شده توسط راجل و لرمین، کازینکینا و همکاران [9] توانستند تحلیل دینامیکی شبه‌کریستال‌های با ساختار بیست‌وجهی را با در نظر گرفتن اثرات مختلف آسیب سطحی توسعه دهند. استفاده از مدلی که در آن گسترش موج و پدیده نفوذ در نظر گرفته شده است، گسترش و رشد ترک در یک تیر یک سر گیردار دوبل ساخته‌شده از شبه‌کریستالی با ساختار ده‌وجهی (Al-Ni-Co) توسط وانگ و فان [10] مورد بررسی قرار گرفته است. در سال ۲۰۱۴ میلادی، مدل دیگری برای شبیه‌سازی رفتار دینامیکی مواد شبه‌کریستال توسط آگیاسوفیتو و لازار [11] ارائه شد که به مدل موجی - تلگرافی شهرت دارد. در شبیه‌سازی رفتار دینامیکی میدان تغییر مکان فیزن فرض شده است که در معادلات تعادل دینامیکی هم شتاب و هم سرعت (منظور کردن میرایی) وجود دارد و برای بیان رفتار دینامیکی تغییر مکان فیزن معادله دیفرانسیل جزئی به سبک معادله تلگراف می‌بایست استفاده شود. با توجه به استفاده از معادله موج برای بیان رفتار تغییر مکان‌های فنونی و معادله تلگراف برای بیان رفتار دینامیکی تغییر مکان‌های فیزیکی، به این مدل موجی - تلگرافی اطلاق می‌شود. پس به طور کلی در خصوص مدل‌های ارائه‌شده برای تحلیل‌های دینامیکی مواد شبه‌کریستال، سه مدل اصلی وجود دارد که عبارتند از: الف) مدل موجی (هارمونیک)، ب) مدل الاستوهیدرو دینامیک و ج) مدل موجی - تلگرافی. در مدل موجی معادلات حرکت میدان‌های فنونی و فیزیکی هر دو به شکل معادله موج است و به عبارت دیگر دارای ترم شتاب در

گلرکین برای تحلیل دینامیکی استوانه تو خالی از جنس مواد شبه کریستالی با ساختار ده وجهی داشته‌اند. در پژوهش ارائه شده توسط ایشان، سطح داخلی استوانه تحت تأثیر بارگذاری شوک قرار گرفته و گسترش موج در میدان‌های تغییر مکان فونونی و فیزیکی مورد بررسی قرار گرفته‌است.

در میان روش‌های عددی موجود برای حل معادلات دیفرانسیل جزئی در مسائل مهندسی و نیز علوم که بر پایه روش‌های بدون مش و المان می‌باشند، روش بدون مش اختلاف محدود تعمیم یافته اخیراً مورد توجه محققان قرار گرفته‌است. در زمینه کاربرد این روش تاکنون مقالات زیادی ارائه شده‌است که برخی از این پژوهش‌ها در ادامه بیان می‌گردند. اصول اولیه و روابط ریاضی روش بدون مش اختلاف محدود تعمیم یافته توسط بنیتو و همکاران [20] ارائه شده‌است. این روش برای حل معادلات دیفرانسیل جزئی مرتبه دوم که طیف وسیعی از پدیده‌های فیزیکی را می‌توان با این نوع معادلات شبیه‌سازی نمود، مورد استفاده قرار گرفته و توسط بنیتو و همکاران [21] توسعه یافته‌است. لازم به ذکر است که چون در روش اختلاف محدود تعمیم یافته نیازی به ایجاد مش و المان نیست، لذا این روش دارای قابلیت‌های مناسبی برای حل معادلات دیفرانسیل جزئی کوپل شده می‌باشد. گویت و همکاران [22] این روش را با روش بدون المان گلرکین مقایسه نموده و مواردی را برای بهبود این روش در حل معادلات دیفرانسیل جزئی ارائه نموده‌اند. همچنین بنیتو و همکاران [23] کاربرد این روش را برای حل معادلات دیفرانسیل جزئی در فرم‌های هایپربولیک و پارابولیک که در تحلیل‌های یک، دو و سه بعدی با آنها برخورد می‌گردد، توسعه داده‌اند. آنها در پژوهش خود تحلیل خطا و تأثیر تعداد گره‌ها روی خطا را بررسی نموده‌اند. همچنین روش بدون مش اختلاف محدود تعمیم یافته برای حل سایر مسائل مهندسی از قبیل تحلیل دوبعدی گسترش موج زلزله [24]، تحلیل

معادلات می‌باشند. در مدل الاستوهیدرو دینامیک، معادله حرکت میدان فونونی به صورت معادله موج دارای ترم شتاب است ولی معادله حرکت میدان فیزیکی فقط دارای ترم سرعت (میرایی) می‌باشد. در مدل موجی - تلگرافی معادله حرکت میدان فونونی به صورت معادله موج است ولی معادله حرکت میدان فیزیکی علاوه بر ترم شتاب دارای ترم سرعت نیز می‌باشد. در همه مدل‌های ذکر شده در فوق، معادلات حرکت به صورت دسته‌ای از معادلات دیفرانسیل جزئی کوپل شده است. دستگاه معادلات دیفرانسیل کوپل را می‌توان با استفاده از روش‌های تحلیلی و یا عددی حل نمود. بدیهی است که با توجه به وجود برهم‌کنش بین تغییر مکان‌های فونونی و فیزیکی، ارائه راه‌حل‌های تحلیلی برای مسائل دینامیکی و به خصوص بارگذاری‌های به صورت شوک از پیچیدگی برخوردار است و بیشتر برای مسائل یک‌بعدی و یا با فرضیات ساده‌کننده ارائه شده‌است. از این دست راه‌حل‌های تحلیلی می‌توان به راه‌حل ارائه شده توسط وانگ و همکاران [12] اشاره نمود که برای تحلیل شبه کریستال‌های یک‌بعدی با ساختار شش‌وجهی و دوبعدی با ساختار هشت‌وجهی و با در نظر گرفتن آسیب در ماده ارائه شده‌است. همچنین لی و فان [13] راه‌حل تحلیلی دیگری برای تحلیل شبه کریستال‌های دارای ترک و نیز بحث تمرکز تنش در نوک ترک را ارائه نموده‌اند.

همان‌طور که ذکر شد، در اکثر پژوهش‌های صورت گرفته بر روی تحلیل‌های استاتیکی و دینامیکی مواد شبه کریستال، از روش‌های عددی بهره گرفته شده‌است که برخی از این پژوهش‌ها در مراجع [14-18] قابل مشاهده می‌باشد. روش‌های عددی استفاده شده در اکثر پژوهش‌ها مبتنی بر روش المان محدود و یا روش‌های بدون مش از قبیل روش بدون مش محلی پتروف - گلرکین بوده‌است. به عنوان نمونه نویسندة مقاله پیش‌رو به همراه همکاران [19] تجربه موفقی در به‌کارگیری روش بدون مش محلی پتروف -

روابط حاکم بر مسئله

در تئوری الاستیسیته کلاسیک، تغییر شکل‌ها در مواد کریستالی با استفاده از تغییر مکان‌های فنونی و نیز کرنش‌های حاصل از آنها، قابل تشریح می‌باشند. همچنین کرنش‌های فنونی را نیز می‌توان با تنش‌های فنونی مرتبط دانست و آنها را نیز محاسبه نمود. ولی در مواد شبه کریستال علاوه بر تغییر مکان‌های فنونی، تغییر مکان‌های دیگری نیز وجود دارند که به آنها تغییر مکان‌های فیزیکی اطلاق می‌شود. این تغییر مکان‌های فیزیکی بر اساس باز آرایش ساختار اتمی مواد شبه کریستال ایجاد می‌شوند و قابل توجیه هستند. مشاهده شده است که بین میدان‌های تغییر مکان فنونی و فیزیکی برهم‌کنش وجود دارد، به طوری که هر گونه تغییر و یا اغتشاش در یک میدان باعث بروز تغییرات در میدان دیگر می‌شود. برای فهم بیشتر از ماهیت میدان‌های تغییر مکان فنونی و فیزیکی، مطالعه مرجع [1] توصیه می‌شود.

بر این اساس معادلات حرکت حاکم بر مسئله مبتنی بر مدل الاستوهیدرو دینامیک که برای فرضیات حاکم بر مسئله ارائه شده مناسب است، به صورت زیر ارائه می‌شود [10]:

$$\sigma_{ij,j} + f_i = \rho \ddot{u}_i \quad (1)$$

$$H_{ij,j} + g_i = D_{ij} \dot{w}_j \quad (2)$$

که f_i و g_i نیروهای خارجی اعمال شده بر میدان‌های فنونی و فیزیکی می‌باشند. همچنین ضریب میرایی میدان فیزیکی با D_{ij} نمایش داده شده است که با فرض همگن و همسانگرد بودن ماده می‌توان نوشت:

$$D_{ij} = D \delta_{ij}, \quad D > 0 \quad (3)$$

دینامیکی ورق‌ها و تیرها [25] و نیز تحلیل دینامیکی استوانه از جنس نانوکامپوزیت تقویت شده با نانو لوله‌های کربنی [26] و اخیراً برای تحلیل انتقال حرارت [27] استفاده شده است. در پژوهش‌هایی دیگر، نویسنده مقاله حاضر کاربرد روش بدون مش اختلاف محدود تعمیم یافته را برای حل مسائل کوپل ترموالاستیسیته بر اساس تئوری گرین-نقدی [28] و نیز برای تحلیل کوپل الاستیسیته-نفوذ غیر فیکسی [29] تحت بارگذاری به صورت شوک را توسعه داده است.

در این مقاله، کاربرد روش کارآمد بدون مش اختلاف محدود تعمیم یافته برای تحلیل دینامیکی حالت گذرای دوبعدی مواد شبه کریستال با ساختار ده وجهی که تحت بارگذاری به صورت شوک قرار دارند، توسعه داده شده است. از روش فوق برای گسسته سازی دسته معادلات دیفرانسیل جزئی کوپل که از معادلات حرکت میدان‌های فنونی و فیزیکی بر اساس مدل الاستوهیدرو دینامیک استخراج شده‌اند، بهره گرفته شده است. تئوری مفروض برای به دست آوردن روابط دینامیکی حاکم، بر این اصل استوار است که تغییر مکان‌های فنونی از معادله موج بدون میرایی و تغییر مکان‌های فیزیکی از معادله تعادل بدون شتاب ولی با میرایی تبعیت کنند. کوپلینگ بین تغییر مکان‌های فنونی و فیزیکی در معادلات حرکت و نیز روابط ساختاری لحاظ شده است. ناحیه‌ای دوبعدی از جنس ماده شبه کریستال (Al-Ni-Co) به شکل مستطیل در نظر گرفته شده است به طوری که یکی از اضلاع آن تحت تأثیر بارگذاری به صورت شوک قرار دارد. رفتار دینامیکی حالت گذرای میدان‌های تغییر مکان فنونی و فیزیکی به دست آمده و مورد بررسی قرار گرفته‌اند. همچنین اثرات پارامترهایی از قبیل پارامتر کوپلینگ و نیز ضریب میرایی میدان تغییر مکان فیزیکی بر روی رفتارهای دینامیکی، مورد ارزیابی قرار گرفته است.

تعریف می‌گردد. روابط زیر بر تانسور ضرایب مواد و خواص مکانیکی مواد شبه کریستال حاکم است:

$$c_{ijkl} = c_{klij} = c_{jikl} = c_{ijlk} , \\ K_{ijkl} = K_{klij} , \quad R_{ijkl} = R_{jikl} . \quad (9)$$

روابط مبتنی بر قانون هوک به صورت تعمیم یافته برای مواد شبه کریستال با ساختار ده وجهی به صورت زیر قابل نمایش می‌باشند [14]:

$$\begin{pmatrix} \sigma_{xx} \\ \sigma_{yy} \\ \sigma_{xy} \\ \sigma_{yx} \end{pmatrix} = \begin{pmatrix} c_{11} & c_{12} & 0 \\ c_{12} & c_{22} & 0 \\ 0 & 0 & c_{66} \\ 0 & 0 & c_{66} \end{pmatrix} \begin{pmatrix} \varepsilon_{xx} \\ \varepsilon_{yy} \\ 2\varepsilon_{xy} \end{pmatrix} \\ + \begin{pmatrix} R & R & 0 & 0 \\ -R & -R & 0 & 0 \\ 0 & 0 & -R & R \\ 0 & 0 & -R & R \end{pmatrix} \begin{pmatrix} \omega_{xx} \\ \omega_{yy} \\ \omega_{xy} \\ \omega_{yx} \end{pmatrix} \quad (10)$$

$$\begin{pmatrix} H_{xx} \\ H_{yy} \\ H_{xy} \\ H_{yx} \end{pmatrix} = \begin{pmatrix} R & -R & 0 \\ R & -R & 0 \\ 0 & 0 & -R \\ 0 & 0 & R \end{pmatrix} \begin{pmatrix} \varepsilon_{xx} \\ \varepsilon_{yy} \\ 2\varepsilon_{xy} \end{pmatrix} \\ + \begin{pmatrix} K_1 & K_2 & 0 & 0 \\ K_2 & K_1 & 0 & 0 \\ 0 & 0 & K_1 & -K_2 \\ 0 & 0 & -K_2 & K_1 \end{pmatrix} \begin{pmatrix} \omega_{xx} \\ \omega_{yy} \\ \omega_{xy} \\ \omega_{yx} \end{pmatrix} \quad (11)$$

برای حل معادلات حرکت میدان‌های فنونی و فیزی (۱ و ۲) با در نظر گرفتن روابط ارائه شده در (۱۰ و ۱۱)، ابتدا معادلات حرکت با استفاده از تبدیل لاپلاس به محیط لاپلاس انتقال داده می‌شوند و پس از انتقال با استفاده از روش اختلاف محدود تعمیم یافته،

روابط تنش- کرنش بر اساس الاستیسیته دوبعدی برای مواد شبه کریستال به صورت زیر ارائه شده است [5]:

$$\sigma_{ij} = c_{ijkl} \varepsilon_{kl} + R_{ijkl} \omega_{kl} \quad (4)$$

$$H_{ij} = R_{klij} \varepsilon_{kl} + K_{ijkl} \omega_{kl} \quad (5)$$

که در روابط فوق H_{ij} و σ_{ij} تنش‌های فنونی و فیزی هستند و نیز ω_{kl} و ε_{kl} کرنش‌های فنونی و فیزی می‌باشند که از تغییرات تغییر مکان‌های فنونی $u_i(\mathbf{x}, t)$ و فیزی $w_i(\mathbf{x}, t)$ به صورت زیر به دست می‌آیند:

$$\varepsilon_{ij}(\mathbf{x}, t) = \frac{1}{2} [u_{i,j}(\mathbf{x}, t) + u_{j,i}(\mathbf{x}, t)] \quad (6)$$

$$\omega_{ij}(\mathbf{x}, t) = w_{i,j}(\mathbf{x}, t) \quad (7)$$

لازم به ذکر است که کرنش‌های فیزی w_i متقارن نیستند ولی کرنش‌های فنونی ε_{ij} متقارن می‌باشند. تانسور ضرایب مواد و نیز ضرایب کوپلینگ (برهم کنش بین میدان‌های فنونی و فیزی) به صورت زیر تعریف می‌شوند [5]:

$$c_{ijkl} = c_{12} \delta_{ij} \delta_{kl} + c_{66} (\delta_{ik} \delta_{jl} + \delta_{il} \delta_{jk}), \\ c_{66} = (c_{11} - c_{12}) / 2 \\ K_{ijkl} = K_1 \delta_{ik} \delta_{jl} + K_2 (\delta_{ij} \delta_{kl} - \delta_{il} \delta_{jk}) \quad (8) \\ R_{ijkl} = R \left[(\delta_{i1} \delta_{j2} + \delta_{i2} \delta_{j1}) \varepsilon_{3lk} \right. \\ \left. + (\delta_{i1} \delta_{j1} - \delta_{i2} \delta_{j2}) \delta_{kl} \right]$$

که در روابط فوق c_{11} ، c_{12} ، K_1 ، K_2 و R ضرایب مرتبط با خواص مکانیکی مواد شبه کریستال بود و $\varepsilon_{3lk} = 1$ نماد جایگشتی می‌باشد که به صورت

$$\begin{aligned} \bar{u}_x^i = & \bar{u}_x^0 + h_i \frac{\partial \bar{u}_x^0}{\partial x} + k_i \frac{\partial \bar{u}_x^0}{\partial y} + \frac{h_i^2}{2} \frac{\partial^2 \bar{u}_x^0}{\partial x^2} \\ & + \frac{k_i^2}{2} \frac{\partial^2 \bar{u}_x^0}{\partial y^2} + h_i k_i \frac{\partial^2 \bar{u}_x^0}{\partial y \partial x} + o(r_i^3) \end{aligned} \quad (14)$$

$$\begin{aligned} \bar{u}_y^i = & \bar{u}_y^0 + h_i \frac{\partial \bar{u}_y^0}{\partial x} + k_i \frac{\partial \bar{u}_y^0}{\partial y} + \frac{h_i^2}{2} \frac{\partial^2 \bar{u}_y^0}{\partial x^2} \\ & + \frac{k_i^2}{2} \frac{\partial^2 \bar{u}_y^0}{\partial y^2} + h_i k_i \frac{\partial^2 \bar{u}_y^0}{\partial y \partial x} + o(r_i^3) \end{aligned} \quad (15)$$

$$\begin{aligned} \bar{w}_x^i = & \bar{w}_x^0 + h_i \frac{\partial \bar{w}_x^0}{\partial x} + k_i \frac{\partial \bar{w}_x^0}{\partial y} + \frac{h_i^2}{2} \frac{\partial^2 \bar{w}_x^0}{\partial x^2} \\ & + \frac{k_i^2}{2} \frac{\partial^2 \bar{w}_x^0}{\partial y^2} + h_i k_i \frac{\partial^2 \bar{w}_x^0}{\partial y \partial x} + o(r_i^3) \end{aligned} \quad (16)$$

$$\begin{aligned} \bar{w}_y^i = & \bar{w}_y^0 + h_i \frac{\partial \bar{w}_y^0}{\partial x} + k_i \frac{\partial \bar{w}_y^0}{\partial y} + \frac{h_i^2}{2} \frac{\partial^2 \bar{w}_y^0}{\partial x^2} \\ & + \frac{k_i^2}{2} \frac{\partial^2 \bar{w}_y^0}{\partial y^2} + h_i k_i \frac{\partial^2 \bar{w}_y^0}{\partial y \partial x} + o(r_i^3) \end{aligned} \quad (17)$$

که در روابط فوق $h_i = x_i - x_0$ ، $k_i = y_i - y_0$ و $r_i = \sqrt{h_i^2 + k_i^2}$ می‌باشند. بسط‌های ارائه شده در روابط (۱۷-۱۴) شامل مشتقات مرتبه اول و دوم می‌باشند، چرا که نیاز مسئله به بسط تا مشتقات مرتبه دوم می‌باشد. لازم به ذکر است که امکان بسط تا مشتقات مراتب بالاتر وجود دارد که این مورد بستگی به حداکثر مرتبه مشتقات موجود در معادلات دیفرانسیل جزئی حاکم بر مسئله دارد. در ادامه توابع نورم B_x^u ، B_y^u ، B_x^w و B_y^w به صورت زیر تعریف می‌شوند:

$$B_x^u = \sum_{i=1}^N \left[\left[\bar{u}_x^0 - \bar{u}_x^i + h_i \frac{\partial \bar{u}_x^0}{\partial x} + k_i \frac{\partial \bar{u}_x^0}{\partial y} + \frac{h_i^2}{2} \frac{\partial^2 \bar{u}_x^0}{\partial x^2} + \frac{k_i^2}{2} \frac{\partial^2 \bar{u}_x^0}{\partial y^2} + h_i k_i \frac{\partial^2 \bar{u}_x^0}{\partial y \partial x} \right] W_i(h_i, k_i) \right]^2 \quad (18)$$

معادلات دیفرانسیل جزئی گسسته می‌شوند. بر این اساس معادلات حرکت را می‌توان در محیط لاپلاس با فرض شرایط اولیه همگن (فرض مقدار و سرعت اولیه صفر برای متغیرها) به صورت زیر نوشت:

$$\bar{\sigma}_{ij,j} + \bar{f}_i = \rho s^2 \bar{u}_i \quad (12)$$

$$\bar{H}_{ij,j} + \bar{g}_i = D_{ij} s \bar{w}_j \quad (13)$$

روش بدون مش اختلاف محدود تعمیم یافته. قبل از گسسته‌سازی معادلات حرکت (۱۲ و ۱۳) در محیط لاپلاس، لازم است تا کلیات روش بدون مش اختلاف محدود تعمیم یافته تشریح گردد. در این روش مشتقات متغیرهای مسئله پیرامون نقاطی در محیط فرض شده برای مسئله، با استفاده از بسط تیلور به صورت خطی بسط داده می‌شوند. اطراف هر یک از گره‌هایی که بسط تیلور پیرامون آنها اعمال شده است، گره‌هایی در نظر گرفته می‌شوند که در بسط تیلور از آنها برای تقریب استفاده می‌شود. لازم به ذکر است که گره‌ها می‌توانند به صورت منظم و یا نامنظم در داخل ناحیه مفروض برای مسئله توزیع شوند. به عنوان مثال برای متغیرهای اصلی مشتق پذیر در مسئله مفروض در این مقاله در هر نقطه‌ای مانند (x_i, y_i, s) شامل $\bar{u}_x^i = \bar{u}_x(x_i, y_i, s)$ ، $\bar{w}_x^i = \bar{w}_x(x_i, y_i, s)$ ، $\bar{u}_y^i = \bar{u}_y(x_i, y_i, s)$ و $\bar{w}_y^i = \bar{w}_y(x_i, y_i, s)$ ، حول نقطه دلخواه (x_0, y_0, s) می‌توان بسط تیلور را به صورت معادلات (۱۷-۱۴) نوشت.

$$B_y^u = \sum_{i=1}^N \left[\left[\bar{u}_y^0 - \bar{u}_y^i + h_i \frac{\partial \bar{u}_y^0}{\partial x} + k_i \frac{\partial \bar{u}_y^0}{\partial y} + \frac{h_i^2}{2} \frac{\partial^2 \bar{u}_y^0}{\partial x^2} + \frac{k_i^2}{2} \frac{\partial^2 \bar{u}_y^0}{\partial y^2} + h_i k_i \frac{\partial^2 \bar{u}_y^0}{\partial y \partial x} \right] W_i(h_i, k_i) \right]^2 \quad (19)$$

$$B_x^w = \sum_{i=1}^N \left[\left[\bar{w}_x^0 - \bar{w}_x^i + h_i \frac{\partial \bar{w}_x^0}{\partial x} + k_i \frac{\partial \bar{w}_x^0}{\partial y} + \frac{h_i^2}{2} \frac{\partial^2 \bar{w}_x^0}{\partial x^2} + \frac{k_i^2}{2} \frac{\partial^2 \bar{w}_x^0}{\partial y^2} + h_i k_i \frac{\partial^2 \bar{w}_x^0}{\partial y \partial x} \right] W_i(h_i, k_i) \right]^2 \quad (20)$$

$$B_y^w = \sum_{i=1}^N \left[\left[\bar{w}_y^0 - \bar{w}_y^i + h_i \frac{\partial \bar{w}_y^0}{\partial x} + k_i \frac{\partial \bar{w}_y^0}{\partial y} + \frac{h_i^2}{2} \frac{\partial^2 \bar{w}_y^0}{\partial x^2} + \frac{k_i^2}{2} \frac{\partial^2 \bar{w}_y^0}{\partial y^2} + h_i k_i \frac{\partial^2 \bar{w}_y^0}{\partial y \partial x} \right] W_i(h_i, k_i) \right]^2 \quad (21)$$

برای هر نقطه دلخواه پنج معادله و پنج مجهول به صورت زیر به دست می‌آید:

که $w(h_i)$ تابع وزن بوده و به صورت زیر تعریف می‌شود:

$$\begin{aligned} & \frac{\partial \bar{u}_x^0}{\partial x} \sum_{i=1}^N w_i^2 h_i^2 + \frac{\partial \bar{u}_x^0}{\partial y} \sum_{i=1}^N w_i^2 h_i k_i \\ & + \frac{\partial^2 \bar{u}_x^0}{\partial x^2} \sum_{i=1}^N w_i^2 \frac{h_i^3}{2} + \frac{\partial^2 \bar{u}_x^0}{\partial y^2} \sum_{i=1}^N w_i^2 \frac{h_i k_i^2}{2} + \\ & + \frac{\partial^2 \bar{u}_x^0}{\partial y \partial x} \sum_{i=1}^N w_i^2 h_i^2 k_i + \bar{u}_x^0 \sum_{i=1}^N w_i^2 h_i \\ & - \sum_{i=1}^N w_i^2 h_i \bar{u}_x^i = 0 \end{aligned} \quad (25)$$

$$W_i(r_i) = \frac{1}{r_i^3} = \frac{1}{(\sqrt{h_i^2 + k_i^2})^3} = (h_i^2 + k_i^2)^{-\frac{3}{2}} \quad (22)$$

با کمینه کردن توابع نورم توابع نورم B_y^u ، B_x^w و B_y^w و B_x^w نسبت به مشتق‌های متغیرهای اصلی، روابطی خطی حاصل می‌شود که در ادامه برای یکی از متغیرها استخراج خواهند شد. روابط استخراج شده برای سایر متغیرها از روشی مشابه، به دست می‌آیند؛ لذا روش به دست آوردن روابط خطی برای بیان مشتقات جزئی \bar{u}_x^0 در ادامه ارائه می‌گردد:

$$\begin{aligned} & \frac{\partial \bar{u}_x^0}{\partial x} \sum_{i=1}^N w_i^2 h_i k_i + \frac{\partial \bar{u}_x^0}{\partial y} \sum_{i=1}^N w_i^2 k_i^2 \\ & + \frac{\partial^2 \bar{u}_x^0}{\partial x^2} \sum_{i=1}^N w_i^2 \frac{h_i^2 k_i}{2} + \frac{\partial^2 \bar{u}_x^0}{\partial y^2} \sum_{i=1}^N w_i^2 \frac{k_i^3}{2} + \\ & + \frac{\partial^2 \bar{u}_x^0}{\partial y \partial x} \sum_{i=1}^N w_i^2 h_i k_i^2 + \bar{u}_x^0 \sum_{i=1}^N w_i^2 k_i \\ & - \sum_{i=1}^N w_i^2 k_i \bar{u}_x^i = 0 \end{aligned} \quad (26)$$

$$\frac{\partial B_x^u}{\partial \{D \bar{u}_x^0\}} = 0 \quad (23)$$

$$\{D \bar{u}\}^T = \left\{ \frac{\partial \bar{u}_x^0}{\partial x}, \frac{\partial \bar{u}_x^0}{\partial y}, \frac{\partial^2 \bar{u}_x^0}{\partial x^2}, \frac{\partial^2 \bar{u}_x^0}{\partial y^2}, \frac{\partial^2 \bar{u}_x^0}{\partial y \partial x} \right\}^T \quad (24)$$

$$\begin{aligned} & \frac{\partial \bar{u}_x^0}{\partial x} \sum_{i=1}^N w_i^2 h_i^2 k_i + \frac{\partial \bar{u}_x^0}{\partial y} \sum_{i=1}^N w_i^2 h_i k_i^2 \\ & + \frac{\partial^2 \bar{u}_x^0}{\partial x^2} \sum_{i=1}^N w_i^2 \frac{h_i^3 k_i}{2} + \frac{\partial^2 \bar{u}_x^0}{\partial y^2} \sum_{i=1}^N w_i^2 \frac{h_i k_i^3}{2} + \\ & + \frac{\partial^2 \bar{u}_x^0}{\partial y \partial x} \sum_{i=1}^N w_i^2 h_i^2 k_i^2 + \bar{u}_x^0 \sum_{i=1}^N w_i^2 h_i k_i \\ & - \sum_{i=1}^N w_i^2 h_i k_i \bar{u}_x^i = 0 \end{aligned}$$

(۲۹)

$$\begin{aligned} & \frac{\partial \bar{u}_x^0}{\partial x} \sum_{i=1}^N w_i^2 \frac{h_i^3}{2} + \frac{\partial \bar{u}_x^0}{\partial y} \sum_{i=1}^N w_i^2 \frac{h_i^2 k_i}{2} \\ & + \frac{\partial^2 \bar{u}_x^0}{\partial x^2} \sum_{i=1}^N w_i^2 \frac{h_i^4}{4} + \frac{\partial^2 \bar{u}_x^0}{\partial y^2} \sum_{i=1}^N w_i^2 \frac{k_i^2 h_i^2}{4} + \\ & + \frac{\partial^2 \bar{u}_x^0}{\partial y \partial x} \sum_{i=1}^N w_i^2 \frac{h_i^3 k_i}{2} + \bar{u}_x^0 \sum_{i=1}^N w_i^2 \frac{h_i^2}{2} \\ & - \sum_{i=1}^N w_i^2 \frac{h_i^2}{2} \bar{u}_x^i = 0 \end{aligned}$$

(۲۷)

روابط فوق به شکل ماتریسی زیر قابل ارائه

می باشد:

$$\mathbf{A}^* \mathbf{D}_x^u = \mathbf{F}_x^u$$

(۳۰)

که:

$$\begin{aligned} & \frac{\partial \bar{u}_x^0}{\partial x} \sum_{i=1}^N w_i^2 \frac{h_i k_i^2}{2} + \frac{\partial \bar{u}_x^0}{\partial y} \sum_{i=1}^N w_i^2 \frac{k_i^3}{2} \\ & + \frac{\partial^2 \bar{u}_x^0}{\partial x^2} \sum_{i=1}^N w_i^2 \frac{h_i^2 k_i^2}{4} + \frac{\partial^2 \bar{u}_x^0}{\partial y^2} \sum_{i=1}^N w_i^2 \frac{k_i^4}{4} + \\ & + \frac{\partial^2 \bar{u}_x^0}{\partial y \partial x} \sum_{i=1}^N w_i^2 \frac{h_i k_i^3}{2} + \bar{u}_x^0 \sum_{i=1}^N w_i^2 \frac{k_i^2}{2} \\ & - \sum_{i=1}^N w_i^2 \frac{k_i^2}{2} \bar{u}_x^i = 0 \end{aligned}$$

(۲۸)

$$\mathbf{A}^* = \begin{bmatrix} \sum_{i=1}^N w_i^2 h_i^2 & \sum_{i=1}^N w_i^2 h_i k_i & \sum_{i=1}^N w_i^2 \frac{h_i^3}{2} & \sum_{i=1}^N w_i^2 \frac{h_i k_i^2}{2} & \sum_{i=1}^N w_i^2 h_i^2 k_i \\ \sum_{i=1}^N w_i^2 h_i k_i & \sum_{i=1}^N w_i^2 k_i^2 & \sum_{i=1}^N w_i^2 \frac{h_i^2 k_i}{2} & \sum_{i=1}^N w_i^2 \frac{k_i^3}{2} & \sum_{i=1}^N w_i^2 h_i k_i^2 \\ \sum_{i=1}^N w_i^2 \frac{h_i^3}{2} & \sum_{i=1}^N w_i^2 \frac{h_i^2 k_i}{2} & \sum_{i=1}^N w_i^2 \frac{h_i^4}{4} & \sum_{i=1}^N w_i^2 \frac{k_i^2 h_i^2}{4} & \sum_{i=1}^N w_i^2 \frac{h_i^3 k_i}{2} \\ \sum_{i=1}^N w_i^2 \frac{h_i k_i^2}{2} & \sum_{i=1}^N w_i^2 \frac{k_i^3}{2} & \sum_{i=1}^N w_i^2 \frac{h_i^2 k_i^2}{4} & \sum_{i=1}^N w_i^2 \frac{k_i^4}{4} & \sum_{i=1}^N w_i^2 \frac{h_i k_i^3}{2} \\ \sum_{i=1}^N w_i^2 h_i^2 k_i & \sum_{i=1}^N w_i^2 h_i k_i^2 & \sum_{i=1}^N w_i^2 \frac{h_i^3 k_i}{2} & \sum_{i=1}^N w_i^2 \frac{h_i k_i^3}{2} & \sum_{i=1}^N w_i^2 h_i^2 k_i^2 \end{bmatrix}$$

(۳۱)

$$\mathbf{D}_x^u \mathbf{T} = \left\{ \frac{\partial \bar{u}_x^0}{\partial x}, \frac{\partial \bar{u}_x^0}{\partial y}, \frac{\partial^2 \bar{u}_x^0}{\partial x^2}, \frac{\partial^2 \bar{u}_x^0}{\partial y^2}, \frac{\partial^2 \bar{u}_x^0}{\partial y \partial x} \right\}^T$$

(۳۲)

$$\mathbf{F}_x^u = \begin{bmatrix} -\bar{u}_x^0 \sum_{i=1}^N w_i^2 h_i + \sum_{i=1}^N w_i^2 h_i \bar{u}_x^i \\ -\bar{u}_x^0 \sum_{i=1}^N w_i^2 k_i + \sum_{i=1}^N w_i^2 k_i \bar{u}_x^i \\ -\bar{u}_x^0 \sum_{i=1}^N w_i^2 \frac{h_i^2}{2} + \sum_{i=1}^N w_i^2 \frac{h_i^2}{2} \bar{u}_x^i \\ -\bar{u}_x^0 \sum_{i=1}^N w_i^2 \frac{k_i^2}{2} + \sum_{i=1}^N w_i^2 \frac{k_i^2}{2} \bar{u}_x^i \\ -\bar{u}_x^0 \sum_{i=1}^N w_i^2 h_i k_i + \sum_{i=1}^N w_i^2 h_i k_i \bar{u}_x^i \end{bmatrix} \quad (33)$$

رابطه (30) به صورت زیر قابل حل می‌باشد:

که در رابطه فوق ضرایب به صورت زیر تعریف می‌شوند:

$$\mathbf{D}_u = [\mathbf{A}^*]^{-1} \mathbf{F}_u = \mathbf{B} \mathbf{F}_u \quad (34)$$

$$\begin{aligned} \eta_i &= B_{11} w_i^2 h_i + B_{12} w_i^2 k_i \\ &+ B_{13} w_i^2 \frac{h_i^2}{2} + B_{14} w_i^2 \frac{k_i^2}{2} \\ &+ B_{15} w_i^2 h_i k_i \end{aligned} \quad (37)$$

با استفاده از رابطه (34)، مشتقات \bar{u}_x^0 به صورت زیر قابل بازنویسی می‌باشند:

$$\eta_0 + \sum_{i=1}^N \eta_i = 0 \quad (38)$$

$$\begin{aligned} \frac{\partial \bar{u}_x^0}{\partial x} &= B_{11} \left(-\bar{u}_x^0 \sum_{i=1}^N w_i^2 h_i + \sum_{i=1}^N w_i^2 h_i \bar{u}_x^i \right) \\ &+ B_{12} \left(-\bar{u}_x^0 \sum_{i=1}^N w_i^2 k_i + \sum_{i=1}^N w_i^2 k_i \bar{u}_x^i \right) + \\ &+ B_{13} \left(-\bar{u}_x^0 \sum_{i=1}^N w_i^2 \frac{h_i^2}{2} + \sum_{i=1}^N w_i^2 \frac{h_i^2}{2} \bar{u}_x^i \right) \\ &+ B_{14} \left(-\bar{u}_x^0 \sum_{i=1}^N w_i^2 \frac{k_i^2}{2} + \sum_{i=1}^N w_i^2 \frac{k_i^2}{2} \bar{u}_x^i \right) + \\ &+ B_{15} \left(-\bar{u}_x^0 \sum_{i=1}^N w_i^2 h_i k_i + \sum_{i=1}^N w_i^2 h_i k_i \bar{u}_x^i \right) \end{aligned} \quad (35)$$

سایر مشتقات \bar{u}_x^0 با استفاده از روشی مشابه به دست می‌آیند:

$$\frac{\partial \bar{u}_x^0}{\partial y} = \bar{u}_x^0 \lambda_0 + \sum_{i=1}^N \lambda_i \bar{u}_x^i \quad (39)$$

$$\begin{aligned} \lambda_i &= B_{21} w_i^2 h_i + B_{22} w_i^2 k_i \\ &+ B_{23} w_i^2 \frac{h_i^2}{2} + B_{24} w_i^2 \frac{k_i^2}{2} + B_{25} w_i^2 h_i k_i \end{aligned} \quad (40)$$

و یا:

$$\lambda_0 + \sum_{i=1}^N \lambda_i = 0 \quad (41)$$

$$\frac{\partial \bar{u}_x^0}{\partial x} = \bar{u}_x^0 \eta_0 + \sum_{i=1}^N \eta_i \bar{u}_x^i \quad (36)$$

ضرایب B_{ij} مؤلفه های ماتریس \mathbf{B} می باشند. با استفاده از روند ارائه شده فوق، مشتق های \bar{u}_x^0, \bar{u}_y^0 و \bar{w}_x^0, \bar{w}_y^0 می توانند محاسبه شوند که به صورت زیر نمایش داده می شوند:

$$\frac{\partial}{\partial x} \begin{Bmatrix} \bar{u}_y^0 \\ \bar{w}_x^0 \\ \bar{w}_y^0 \end{Bmatrix} = \eta_0 \begin{Bmatrix} \bar{u}_y^0 \\ \bar{w}_x^0 \\ \bar{w}_y^0 \end{Bmatrix} + \sum_{i=1}^N \eta_i \begin{Bmatrix} \bar{u}_y^i \\ \bar{w}_x^i \\ \bar{w}_y^i \end{Bmatrix} \quad (51)$$

$$\frac{\partial}{\partial y} \begin{Bmatrix} \bar{u}_y^0 \\ \bar{w}_x^0 \\ \bar{w}_y^0 \end{Bmatrix} = \lambda_0 \begin{Bmatrix} \bar{u}_y^0 \\ \bar{w}_x^0 \\ \bar{w}_y^0 \end{Bmatrix} + \sum_{i=1}^N \lambda_i \begin{Bmatrix} \bar{u}_y^i \\ \bar{w}_x^i \\ \bar{w}_y^i \end{Bmatrix} \quad (52)$$

$$\frac{\partial^2}{\partial x^2} \begin{Bmatrix} \bar{u}_y^0 \\ \bar{w}_x^0 \\ \bar{w}_y^0 \end{Bmatrix} = \tau_0 \begin{Bmatrix} \bar{u}_y^0 \\ \bar{w}_x^0 \\ \bar{w}_y^0 \end{Bmatrix} + \sum_{i=1}^N \tau_i \begin{Bmatrix} \bar{u}_y^i \\ \bar{w}_x^i \\ \bar{w}_y^i \end{Bmatrix} \quad (53)$$

$$\frac{\partial^2}{\partial y^2} \begin{Bmatrix} \bar{u}_y^0 \\ \bar{w}_x^0 \\ \bar{w}_y^0 \end{Bmatrix} = \psi_0 \begin{Bmatrix} \bar{u}_y^0 \\ \bar{w}_x^0 \\ \bar{w}_y^0 \end{Bmatrix} + \sum_{i=1}^N \psi_i \begin{Bmatrix} \bar{u}_y^i \\ \bar{w}_x^i \\ \bar{w}_y^i \end{Bmatrix} \quad (54)$$

$$\frac{\partial^2}{\partial x \partial y} \begin{Bmatrix} \bar{u}_y^0 \\ \bar{w}_x^0 \\ \bar{w}_y^0 \end{Bmatrix} = \varphi_0 \begin{Bmatrix} \bar{u}_y^0 \\ \bar{w}_x^0 \\ \bar{w}_y^0 \end{Bmatrix} + \sum_{i=1}^N \varphi_i \begin{Bmatrix} \bar{u}_y^i \\ \bar{w}_x^i \\ \bar{w}_y^i \end{Bmatrix} \quad (55)$$

معادلات حرکت میدان های فنونی و فیزیکی به شکل

گسسته. با استفاده از روابط ارائه شده در بخش قبل برای مشتقات جزئی متغیرهای اصلی مسئله و جایگزینی این روابط در روابط (۱۲ و ۱۳)، معادلات دوبعدی حرکت به شکل گسسته در نقطه ای دلخواه (x_0, y_0, S) در محیط لاپلاس برای مواد شبه کریستال با ساختار ده وجهی به دست می آید. معادلات حرکت با فرض شرایط اولیه همگن برای متغیرهای اصلی مسئله و نیز فرض صفر بودن نیروهای

و:

$$\frac{\partial^2 \bar{u}_x^0}{\partial x^2} = \bar{u}_x^0 \tau_0 + \sum_{i=1}^N \tau_i \bar{u}_x^i \quad (42)$$

$$\begin{aligned} \tau_i = & B_{31} w_i^2 h_i + B_{32} w_i^2 k_i \\ & + B_{33} w_i^2 \frac{h_i^2}{2} + B_{34} w_i^2 \frac{k_i^2}{2} + B_{35} w_i^2 h_i k_i \end{aligned} \quad (43)$$

$$\tau_0 + \sum_{i=1}^N \tau_i = 0 \quad (44)$$

و نیز:

$$\frac{\partial^2 \bar{u}_x^0}{\partial y^2} = \bar{u}_x^0 \psi_0 + \sum_{i=1}^N \psi_i \bar{u}_x^i \quad (45)$$

$$\begin{aligned} \psi_i = & B_{41} w_i^2 h_i + B_{42} w_i^2 k_i \\ & + B_{43} w_i^2 \frac{h_i^2}{2} + B_{44} w_i^2 \frac{k_i^2}{2} + B_{45} w_i^2 h_i k_i \end{aligned} \quad (46)$$

$$\psi_0 + \sum_{i=1}^N \psi_i = 0 \quad (47)$$

و در نهایت می توان نوشت:

$$\frac{\partial^2 \bar{u}_x^0}{\partial y \partial x} = \bar{u}_x^0 \varphi_0 + \sum_{i=1}^N \varphi_i \bar{u}_x^i \quad (48)$$

$$\begin{aligned} \varphi_i = & B_{51} w_i^2 h_i + B_{52} w_i^2 k_i \\ & + B_{53} w_i^2 \frac{h_i^2}{2} + B_{54} w_i^2 \frac{k_i^2}{2} + B_{55} w_i^2 h_i k_i \end{aligned} \quad (49)$$

$$\varphi_0 + \sum_{i=1}^N \varphi_i = 0 \quad (50)$$

خارجی در مختصات کارتزین به صورت زیر حاصل

می‌شوند:

معادلات فوق را می‌توان به شکل زیر نیز نمایش

داد:

$$\begin{aligned} & (\tau_0 c_{11} + \psi_0 c_{66} - \rho s^2) \bar{u}_x^0 + \sum_{i=1}^N (\tau_i c_{11} + \psi_i c_{66}) \bar{u}_x^i \\ & + (c_{12} \varphi_0 + c_{66} \varphi_0) \bar{u}_y^0 + \sum_{i=1}^N (c_{12} \varphi_i + c_{66} \varphi_i) \bar{u}_y^i + \\ & + (R \tau_0 - R \psi_0) \bar{w}_x^0 + \sum_{i=1}^N (R \tau_i - R \psi_i) \bar{w}_x^i \\ & + (2R \varphi_0) \bar{w}_y^0 + \sum_{i=1}^N (2R \varphi_i) \bar{w}_y^i = 0 \end{aligned} \quad (60)$$

$$\begin{aligned} & c_{11} \left(\tau_0 \bar{u}_x^0 + \sum_{i=1}^N \tau_i \bar{u}_x^i \right) + c_{66} \left(\psi_0 \bar{u}_x^0 + \sum_{i=1}^N \psi_i \bar{u}_x^i \right) \\ & + (c_{12} + c_{66}) \left(\varphi_0 \bar{u}_y^0 + \sum_{i=1}^N \varphi_i \bar{u}_y^i \right) + \\ & + R \left(\tau_0 \bar{w}_x^0 + \sum_{i=1}^N \tau_i \bar{w}_x^i \right) - R \left(\psi_0 \bar{w}_x^0 + \sum_{i=1}^N \psi_i \bar{w}_x^i \right) \\ & + 2R \left(\varphi_0 \bar{w}_y^0 + \sum_{i=1}^N \varphi_i \bar{w}_y^i \right) = \rho s^2 \bar{u}_x^0 \end{aligned} \quad (56)$$

$$\begin{aligned} & (c_{12} \varphi_0 + c_{66} \varphi_0) \bar{u}_x^0 + \sum_{i=1}^N (c_{12} \varphi_i + c_{66} \varphi_i) \bar{u}_x^i \\ & + (c_{66} \tau_0 + c_{22} \psi_0 - \rho s^2) \bar{u}_y^0 + \sum_{i=1}^N (c_{66} \tau_i + c_{22} \psi_i) \bar{u}_y^i + \\ & + (2R \varphi_0) \bar{w}_x^0 + \sum_{i=1}^N (2R \varphi_i) \bar{w}_x^i \\ & + (R \tau_0 - R \psi_0) \bar{w}_y^0 + \sum_{i=1}^N (R \tau_i - R \psi_i) \bar{w}_y^i = 0 \end{aligned} \quad (61)$$

$$\begin{aligned} & c_{66} \left(\tau_0 \bar{u}_y^0 + \sum_{i=1}^N \tau_i \bar{u}_y^i \right) + c_{22} \left(\psi_0 \bar{u}_y^0 + \sum_{i=1}^N \psi_i \bar{u}_y^i \right) \\ & + (c_{12} + c_{66}) \left(\varphi_0 \bar{u}_x^0 + \sum_{i=1}^N \varphi_i \bar{u}_x^i \right) + \\ & + R \left(\tau_0 \bar{w}_y^0 + \sum_{i=1}^N \tau_i \bar{w}_y^i \right) - R \left(\psi_0 \bar{w}_y^0 + \sum_{i=1}^N \psi_i \bar{w}_y^i \right) \\ & - 2R \left(\varphi_0 \bar{w}_x^0 + \sum_{i=1}^N \varphi_i \bar{w}_x^i \right) = \rho s^2 \bar{u}_y^0 \end{aligned} \quad (57)$$

$$\begin{aligned} & (K_1 \tau_0 + K_1 \psi_0 - D s) \bar{w}_x^0 \\ & + \sum_{i=1}^N (K_1 \tau_i + K_1 \psi_i) \bar{w}_x^i + R (\tau_0 - \psi_0) \bar{u}_x^0 + \\ & + \sum_{i=1}^N R (\tau_i - \psi_i) \bar{u}_x^i \\ & - (2R \varphi_0) \bar{u}_y^0 - \sum_{i=1}^N (2R \varphi_i) \bar{u}_y^i = 0 \end{aligned} \quad (62)$$

$$\begin{aligned} & K_1 \left(\tau_0 \bar{w}_x^0 + \sum_{i=1}^N \tau_i \bar{w}_x^i \right) + K_1 \left(\psi_0 \bar{w}_x^0 + \sum_{i=1}^N \psi_i \bar{w}_x^i \right) \\ & + R \left(\tau_0 \bar{u}_x^0 + \sum_{i=1}^N \tau_i \bar{u}_x^i \right) - R \left(\psi_0 \bar{u}_x^0 + \sum_{i=1}^N \psi_i \bar{u}_x^i \right) \\ & - 2R \left(\varphi_0 \bar{u}_y^0 + \sum_{i=1}^N \varphi_i \bar{u}_y^i \right) = D s \bar{w}_x^0 \end{aligned} \quad (58)$$

$$\begin{aligned} & (K_1 \tau_0 + K_1 \psi_0 - D s) \bar{w}_y^0 \\ & + \sum_{i=1}^N (K_1 \tau_i + K_1 \psi_i) \bar{w}_y^i + (R \tau_0 - R \psi_0) \bar{u}_y^0 + \\ & + \sum_{i=1}^N (R \tau_i - R \psi_i) \bar{u}_y^i \\ & + (2R \varphi_0) \bar{u}_x^0 + \sum_{i=1}^N (2R \varphi_i) \bar{u}_x^i = 0 \end{aligned} \quad (63)$$

$$\begin{aligned} & K_1 \left(\tau_0 \bar{w}_y^0 + \sum_{i=1}^N \tau_i \bar{w}_y^i \right) + K_1 \left(\psi_0 \bar{w}_y^0 + \sum_{i=1}^N \psi_i \bar{w}_y^i \right) \\ & + R \left(\tau_0 \bar{u}_y^0 + \sum_{i=1}^N \tau_i \bar{u}_y^i \right) - R \left(\psi_0 \bar{u}_y^0 + \sum_{i=1}^N \psi_i \bar{u}_y^i \right) \\ & + 2R \left(\varphi_0 \bar{u}_x^0 + \sum_{i=1}^N \varphi_i \bar{u}_x^i \right) = D s \bar{w}_y^0 \end{aligned} \quad (59)$$

$$s_k = \frac{\delta_k}{t}, \delta_0 = \frac{2M}{5}, \gamma_0 = 0.5 e^{\delta_0}$$

$$\delta_k = \frac{2k\pi}{5} \left(\cot\left(\frac{k\pi}{M}\right) + i \right),$$

$$\gamma_k = \left[1 + i \left(\frac{k\pi}{M} \right) \left(1 + \left[\cot\left(\frac{k\pi}{M}\right) \right]^2 \right) - i \cot\left(\frac{k\pi}{M}\right) \right] e^{\delta_k}$$

$$0 < k < M$$

(۶۷)

در این روش، برای انتقال یک نمودار از حوزه لاپلاس به حوزه زمان ابتدا تعداد M نقطه بر روی نمودار در حوزه لاپلاس انتخاب می‌شود و متناظر این نقاط در حوزه زمان محاسبه می‌شوند که برای این منظور از روابط فوق بهره گرفته می‌شود. با اتصال نقاط حاصل شده در حوزه زمان نمودار معادل در حوزه زمان حاصل می‌شود. هرچه تعداد نقاط انتخاب شده در نمودار بیشتر باشد، دقت بیشتری در انتقال حاصل می‌گردد.

مثال عددی و ارائه نتایج

ناحیه‌ای دوبعدی به شکل مستطیل به طول $(x_b - x_a)$ و عرض $(y_b - y_a)$ از جنس مواد شبه کریستال فرض می‌شود به طوری که خواص مکانیکی شبه کریستال (Al-Ni-Co) برای آن در نظر گرفته می‌شود (شکل ۱). خواص مکانیکی ناحیه دوبعدی مستطیل شکل به صورت زیر می‌باشد [15]:

$$c_{11} = 234.3 \text{ GPa}, c_{11} = c_{22},$$

$$c_{12} = 57.4 \text{ GPa}, K_1 = 122 \text{ GPa},$$

$$K_2 = 24 \text{ GPa}, \rho = 4180 \text{ kg/m}^3,$$

$$c_{66} = (c_{11} - c_{12}) * 0.5, R = R^* c_{66},$$

$$D = 10^{+10} \text{ Kg/m}^3 \text{ s.}$$

(۶۸)

دستگاه معادلات خطی زیر برای مقادیر متغیرهای اصلی مسئله در گره‌های مختلف توزیع شده در ناحیه مفروض مسئله، به صورت زیر قابل نمایش می‌باشد:

$$[K]_{(N+1) \times (N+1)} \{\phi\}_{(N+1) \times 1} = [f]_{(N+1) \times 1} \quad (۶۹)$$

که:

$$\{\phi\}^T = \left\{ \bar{u}_x^0 \quad \bar{u}_y^0 \quad \bar{w}_x^0 \quad \bar{w}_y^0 \quad \bar{u}_x^1 \quad \bar{u}_y^1 \quad \bar{w}_x^1 \quad \bar{w}_y^1 \right. \\ \left. \bar{w}_y^1 \quad \dots \quad \bar{u}_x^N \quad \bar{u}_y^N \quad \bar{w}_x^N \quad \bar{w}_y^N \right\}^T$$

(۶۵)

مقدار مؤلفه‌های ماتریس $[f]_{(N+1) \times 1}$ از شرایط مرزی مسئله قابل محاسبه می‌باشند. با حل دستگاه معادلات خطی (۶۹) در محیط لاپلاس مقادیر نامعلوم تغییر مکان‌های فنونی و فیزی در گره‌های مختلف محاسبه می‌شوند. برای به دست آوردن مقادیر تغییر مکان‌های فنونی و فیزی در حوزه زمان، می‌توان از روش‌های تبدیل لاپلاس معکوس استفاده نمود. در این مقاله از الگوریتم ارائه شده در روش تالبوت [30] استفاده شده است. تغییر مکان‌های فنونی و فیزی در حوزه زمان با استفاده از روابط زیر محاسبه شده‌اند:

$$\bar{u}_x^i(x, y, t) = \frac{2}{5t} \sum_{k=0}^{M-1} \text{Re}(\gamma_k \bar{u}_x^i(x, y, s_k))$$

$$\bar{u}_y^i(x, y, t) = \frac{2}{5t} \sum_{k=0}^{M-1} \text{Re}(\gamma_k \bar{u}_y^i(x, y, s_k))$$

$$\bar{w}_x^i(x, y, t) = \frac{2}{5t} \sum_{k=0}^{M-1} \text{Re}(\gamma_k \bar{w}_x^i(x, y, s_k))$$

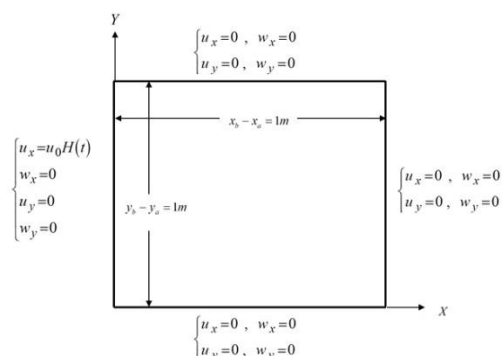
$$\bar{w}_y^i(x, y, t) = \frac{2}{5t} \sum_{k=0}^{M-1} \text{Re}(\gamma_k \bar{w}_y^i(x, y, s_k))$$

(۶۶)

که در روابط فوق:

تغییر مکان در باریکه از جنس مواد همگن و همسان‌گرد در حالت استاتیکی حل تحلیلی دارد [31] و انتظار می‌رود که پاسخ‌های به دست آمده از پژوهش حاضر با فرضیات فوق در زمان‌های بزرگ به حل تحلیلی موجود میل کند. به عبارت دیگر در زمان‌های بزرگ و پس از طی شدن زمان تغییرات حالت گذرا در میدان تغییر مکان فنونی، توزیع تغییر مکان فنونی در راستای x می‌بایست با توزیع تغییر مکان در باریکه در حالت استاتیکی برابر باشند. در شکل (۲) مقایسه‌ای بین پاسخ‌های به دست آمده و حل تحلیلی موجود ارائه شده است و به وضوح مشاهده می‌گردد که با بزرگ‌تر شدن زمان نمودار توزیع تغییر مکان فنونی u_x به نتایج حاصل از حل تحلیلی میل می‌کند.

اکنون مسئله با فرض خواص مکانیکی ارائه شده در روابط (۶۸) تحلیل می‌شود. به منظور به دست آوردن تأثیر پارامتر کوپل بین میدان‌های تغییر مکان فنونی و فیزیکی R بر پاسخ‌های دینامیکی حالت گذار، مقادیر مختلفی برای R^* در نظر گرفته شده است که عبارتند از: $0/4$ و $0/8$ و $1/2$ شرایط مرزی فرض شده برای مسئله در شکل (۱) به وضوح نمایش داده شده‌اند.

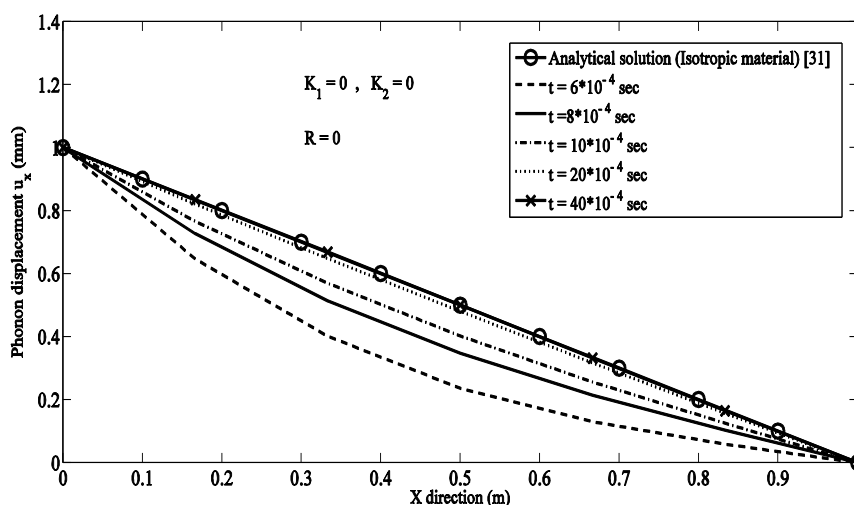


شکل ۱ ناحیه دوبعدی مفروض به همراه شرایط مرزی

قبل از ارائه نتایج حاصل از تحلیل بر روی مواد شبه کریستال با ساختار ده‌وجهی، لازم است تا روش ارائه شده در این پژوهش صحه گذاری شود. با توجه به این که پژوهش حاضر اولین تحلیل‌های صورت گرفته در این حوزه می‌باشد، برای صحه گذاری عرض ناحیه مستطیلی دوبعدی مفروض بسیار بزرگ‌تر از طول ناحیه در نظر گرفته می‌شود ($y_b \gg y_a$) و پارامترهای زیر نیز صفر فرض می‌شود:

$$K_1 = K_2 = 0, R = 0 \quad (69)$$

در نتیجه ناحیه دوبعدی تبدیل به یک باریکه از جنس مواد همگن و همسان‌گرد می‌شود. توزیع



شکل ۲ مقایسه نتایج حاصل از پژوهش ارائه شده و حل تحلیلی موجود [31] برای باریکه از جنس مواد همگن همسان‌گرد

که در این روابط فرض بر این است که $u_0 = 1 \text{ mm}$ باشد. در ادامه پاسخ‌های دینامیکی حالت گذرای هر یک از تغییر مکان‌های فنونی و فیزیکی مورد بررسی و مطالعه قرار خواهد گرفت.

توزیع تغییر مکان فنونی u_x در راستای x در زمان‌های مختلف در شکل (۳) نمایش داده شده است. همان‌طور که در شکل مشخص است پیشانی موج تغییر مکان فنونی u_x در زمان‌های مختلف قابل رصد می‌باشد. این بدان معناست که موج تغییر مکان فنونی با سرعتی محدود در ماده گسترش می‌یابد و روش ارائه شده در این مقاله توانایی رصد این موج را دارا می‌باشد. در شکل (۴) اثر افزایش زمان بر توزیع تغییر مکان فنونی u_x در راستای y نمایش داده شده است. از شکل (۴) و نمودارهای ارائه شده در آن مشخص است که با افزایش زمان نمودارهای توزیع به یکدیگر نزدیک می‌شود و چنین برمی‌آید که به مقادیر ثابتی و یا به عبارت دیگر به یک نمودار میل کنند. برای این که صحت این پدیده ثابت شود تغییرات u_x نسبت به زمان در شکل (۵) نمایش داده شده است.

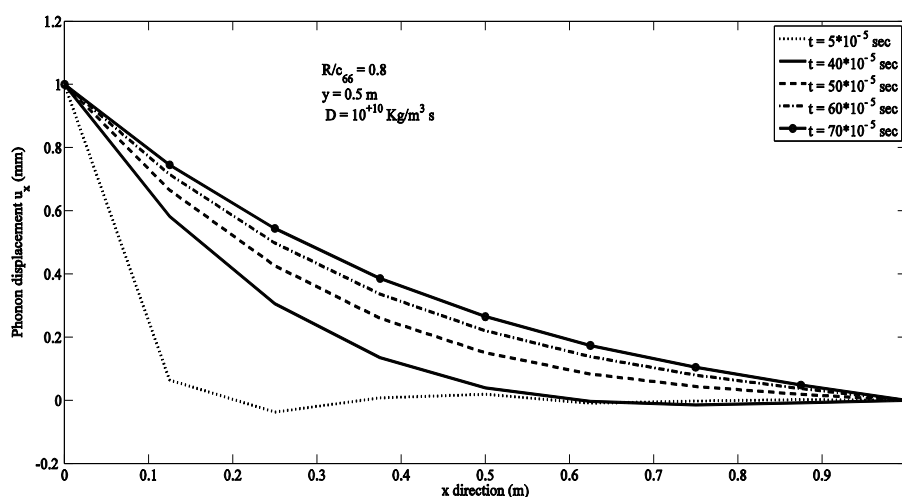
همان‌طور که در شکل نیز مشاهده می‌شود، تغییر مکان فنونی یکی از اضلاع ناحیه مستطیلی شکل به صورت ناگهانی افزایش می‌یابد که این افزایش ناگهانی به صورت بارگذاری شوک قابل نمایش می‌باشد؛ لذا برای بیان این افزایش ناگهانی از تابع پله واحد استفاده شده است که با $H(t)$ نمایش داده می‌شود. شرایط مرزی مفروض برای مسئله به صورت معادلات (۶۹-۷۲) قابل نمایش می‌باشند:

$$u_x(x_a, y, t) = u_0 * H(t) \quad , \quad u_y(x_a, y, t) = 0 \\ , \quad w_x(x_a, y, t) = 0 \quad , \quad w_y(x_a, y, t) = 0 \quad (70)$$

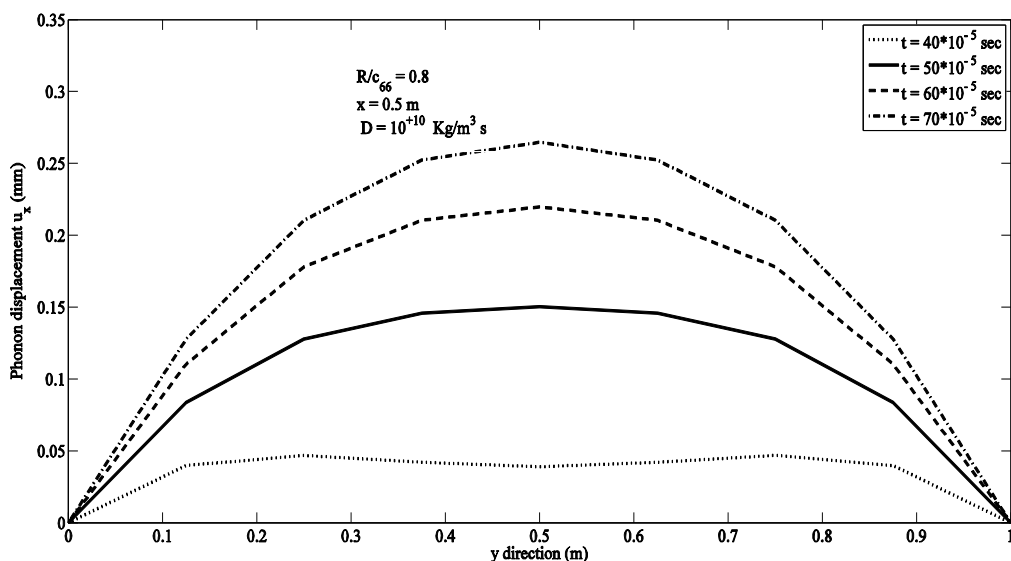
$$u_x(x_b, y, t) = 0 \quad , \quad u_y(x_b, y, t) = 0 \\ , \quad w_x(x_b, y, t) = 0 \quad , \quad w_y(x_b, y, t) = 0 \quad (71)$$

$$u_x(x, y_a, t) = 0 \quad , \quad u_y(x, y_a, t) = 0 \\ , \quad w_x(x, y_a, t) = 0 \quad , \quad w_y(x, y_a, t) = 0 \quad (72)$$

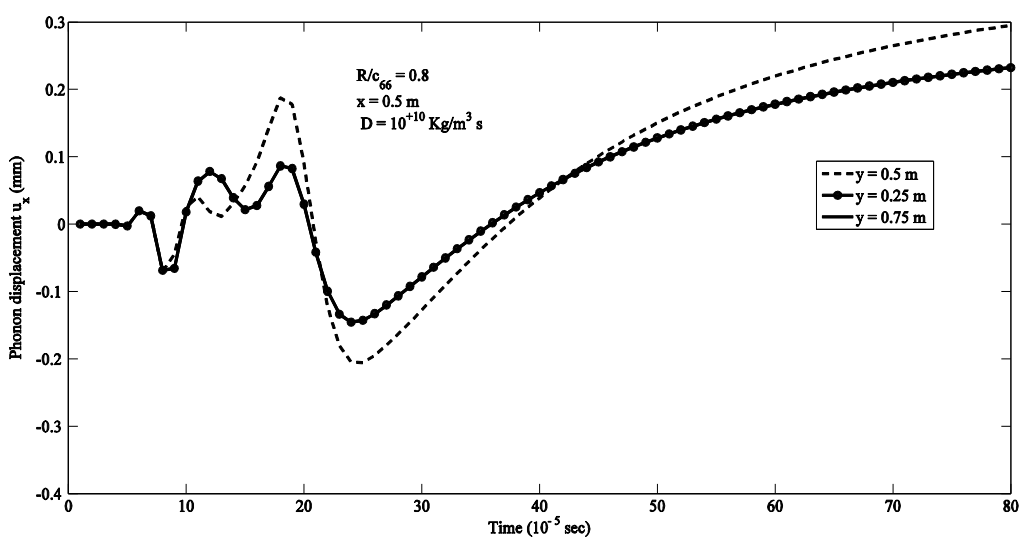
$$u_x(x, y_b, t) = 0 \quad , \quad u_y(x, y_b, t) = 0 \\ , \quad w_x(x, y_b, t) = 0 \quad , \quad w_y(x, y_b, t) = 0 \quad (73)$$



شکل ۳ توزیع تغییر مکان فنونی u_x در راستای x در زمان‌های مختلف



شکل ۴ توزیع تغییر مکان فنونی u_x در راستای y در زمان‌های مختلف



شکل ۵ تغییرات u_x نسبت به زمان در نقاط مختلفی بر روی ناحیه مفروض

استاتیکی میل می‌کنند. نمودارهای ارائه شده در شکل (۵) برای نقاط مختلفی روی ناحیه دوبعدی مسئله رسم شده‌اند. همچنین در این شکل کاملاً مشخص است که رفتار حالت گذرای تغییر مکان فنونی u_x در زمان‌های کمتر از $25 \times 10^{-5} \text{ sec}$ اتفاق می‌افتد ($t \leq 25 \times 10^{-5} \text{ sec}$).

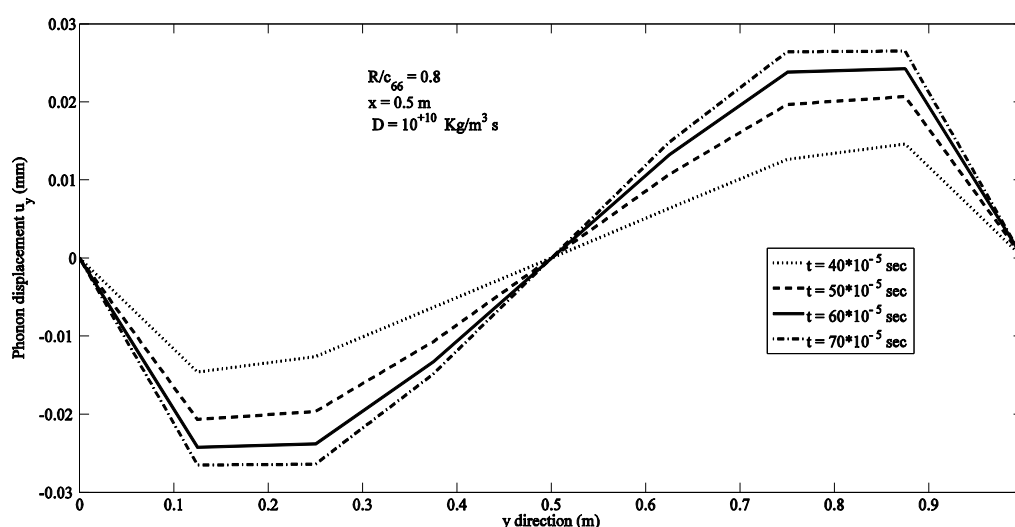
همان‌طور که در شکل (۵) به وضوح مشاهده می‌شود، در زمان‌های بزرگ مقادیر تغییر مکان‌های فنونی u_x به مقادیر ثابتی میل می‌کنند. این بدان معناست که پس از اعمال بارگذاری به صورت شوک ابتدا رفتار حالت گذرای تغییر مکان فنونی u_x مشاهده می‌شود و با گذشت زمان این رفتار حالت گذرا از بین می‌رود و پاسخ‌های دینامیکی به پاسخ‌های ناشی از بار

مختلف در شکل (۸) نشان داده شده و در شکل (۹) توزیع w_x در راستای y نمایش داده شده است. در هر دو شکل (۸ و ۹) کاملاً مشخص است که میدان تغییر مکان فیزیکی w_x تحت تأثیر تغییرات در میدان تغییر مکان فنونی قرار دارد. رفتار دینامیکی تغییر مکان های فیزیکی نیز به صورت گذرا است و برای این که ناحیه حالت گذرا مشخص شود لازم است تا تغییرات w_x نسبت به زمان رسم شود. بر این اساس تغییرات w_x نسبت به زمان در نقاط مختلفی بر روی ناحیه مستطیلی به دست آمده اند که در شکل (۱۰) رسم شده اند. در این نمودار نیز کاملاً مشخص است که ناحیه تغییرات حالت گذرا در زمان های کمتر از 25×10^{-5} sec اتفاق می افتد. در زمان های بزرگ تر، مقادیر تغییر مکان های فیزیکی w_x به مقادیر ثابتی میل می کنند. رفتار مشابهی برای تغییر مکان فیزیکی w_y مشاهده می گردد که در شکل های (۱۱ و ۱۲) به وضوح قابل مشاهده می باشد. در این دو شکل به ترتیب تغییرات تغییر مکان فیزیکی w_y در راستای y و تغییرات این تغییر مکان نسبت به زمان برای نقاط مختلفی روی ناحیه مستطیلی، نشان داده شده اند.

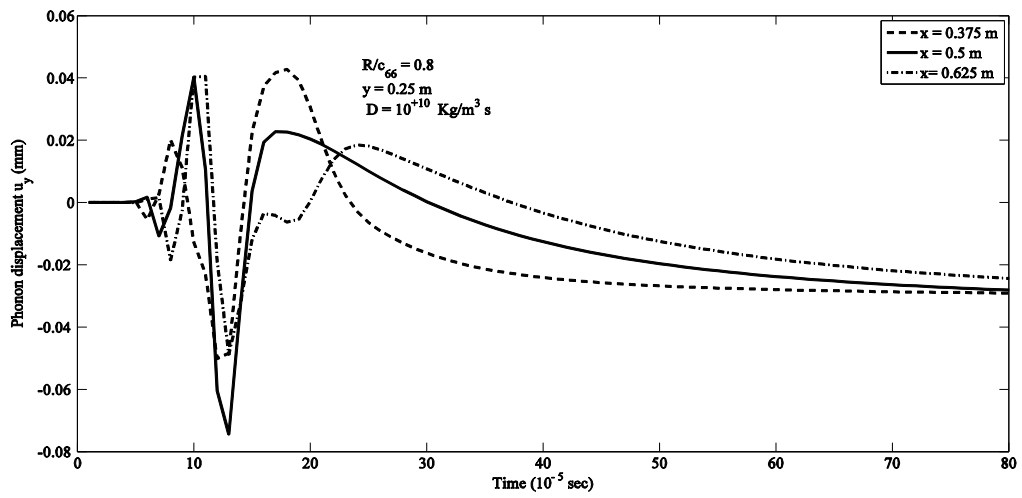
در شکل های (۶ و ۷) به ترتیب توزیع تغییر مکان فنونی u_y در راستای y در زمان های مختلف و نیز تغییرات u_y نسبت به زمان برای نقاط مختلفی روی ناحیه دوبعدی ترسیم شده اند.

همان طور که در هر دو شکل به وضوح مشاهده می شود، در زمان های کمتر از 25×10^{-5} sec رفتار حالت گذرا مشاهده می شود و پس از این زمان تغییر مکان های فنونی u_y به سمت مقادیری ثابت میل می کنند. با توجه به این موضوع می توان نتیجه گرفت که رفتاری مشابه برای تغییر مکان های فنونی می توان مشاهده نمود و رفتار حالت گذرای تغییر مکان های فنونی تحت تأثیر بارگذاری به صورت شوک در زمان های کمتر از 25×10^{-5} sec اتفاق می افتد.

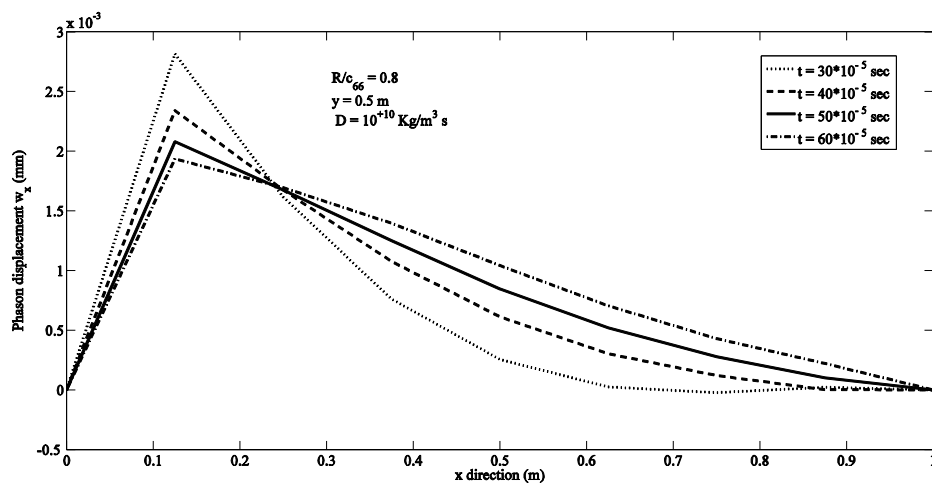
همان طور که در بخش های قبلی ذکر شد، میدان های تغییر مکان فنونی و فیزیکی با یکدیگر کوپل هستند و یا به عبارت دیگر دارای برهم کنش می باشند. هرگونه تغییر در یکی از این میدان ها باعث ایجاد تغییرات در میدان دیگر می شود. شکل (۸) نشان می دهد که میدان تغییر مکان w_x تحت تأثیر بارگذاری شوک اعمال شده به میدان تغییر مکان فنونی قرار دارد. توزیع تغییر مکان فیزیکی w_x در راستای x در زمان های



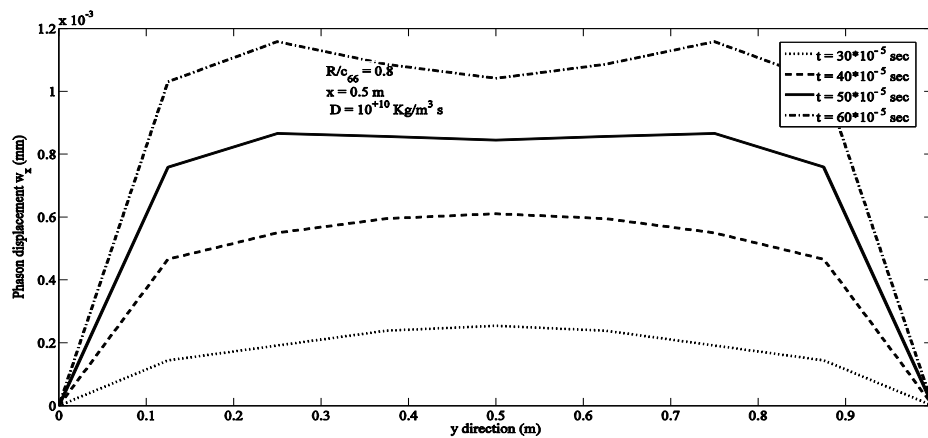
شکل ۶ توزیع تغییر مکان فنونی u_y در راستای y در زمان های مختلف



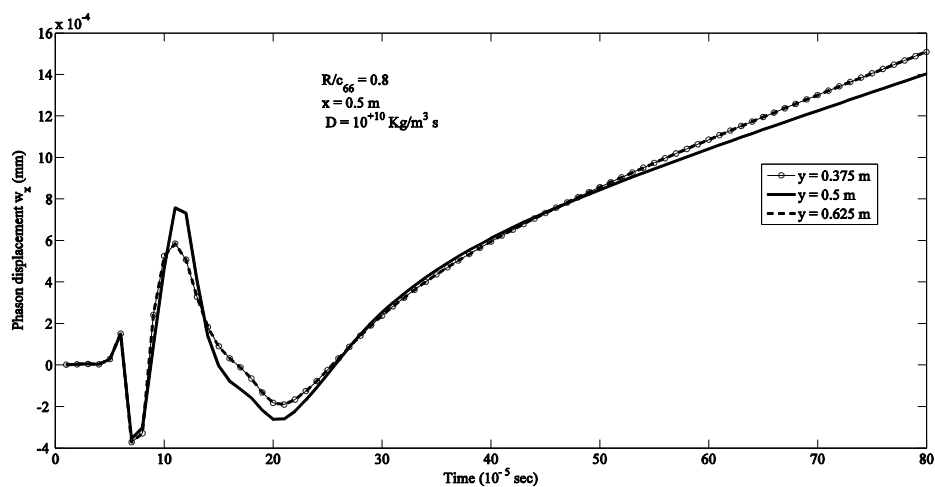
شکل ۷ تغییرات u_y نسبت به زمان در نقاط مختلفی بر روی ناحیه مفروض



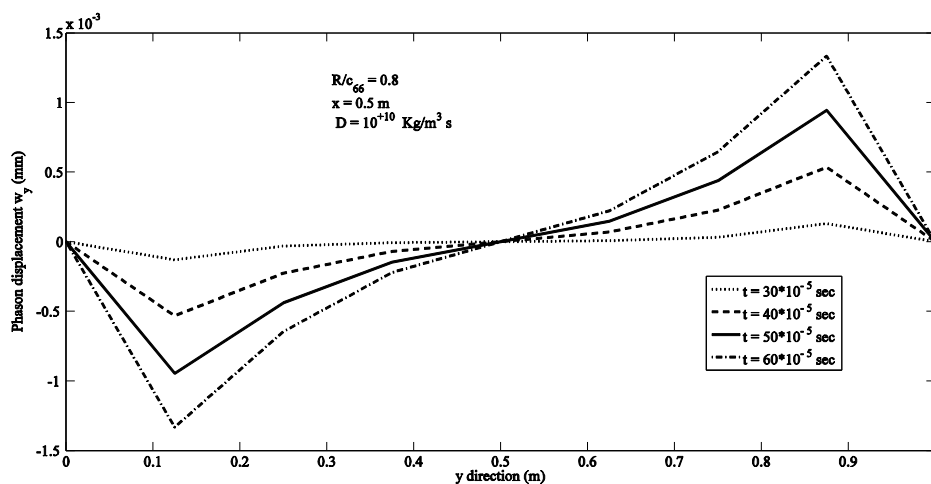
شکل ۸ توزیع تغییر مکان فنونی w_x در راستای x در زمان‌های مختلف



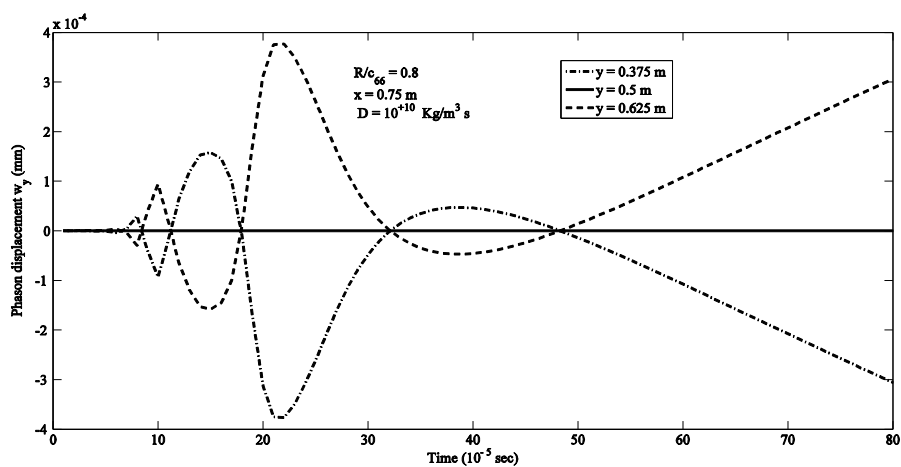
شکل ۹ توزیع تغییر مکان فنونی w_x در راستای y در زمان‌های مختلف



شکل ۱۰ تغییرات w_x نسبت به زمان در نقاط مختلفی بر روی ناحیه مفروض



شکل ۱۱ توزیع تغییر مکان فنونی w_y در راستای y در زمان‌های مختلف

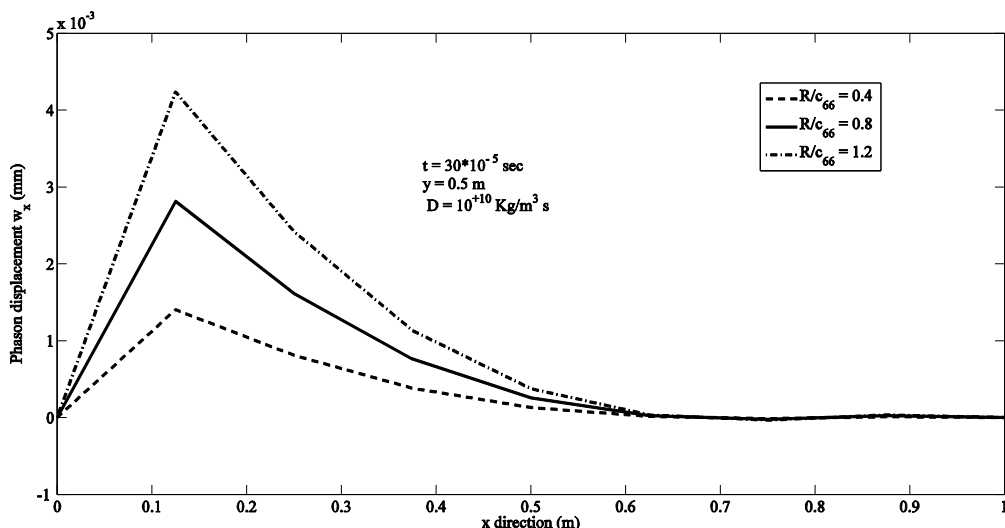


شکل ۱۲ تغییرات w_y نسبت به زمان در نقاط مختلفی بر روی ناحیه مفروض

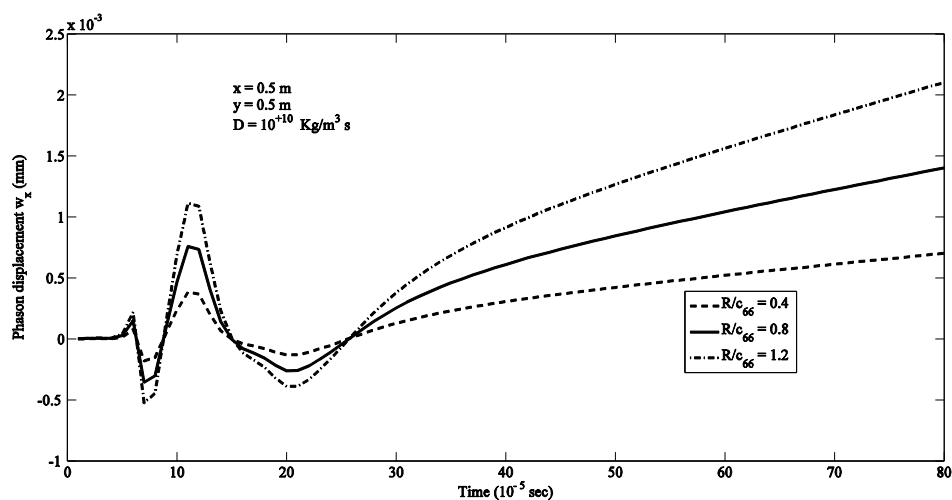
فیزیکی افزایش می‌یابد که بیانگر میزان تأثیر این پارامتر بر روی رفتار دینامیکی تغییر مکان‌های فیزیکی است.

لازم به ذکر است که در کلیه تحلیل‌های انجام شده، تعداد گره‌ها در راستای x و y با یکدیگر برابر هستند و تعداد آنها برابر ۹ در هر راستا می‌باشد و نیز به صورت منظم در هر دو راستا توزیع شده‌اند. با انتخاب تعداد گره‌های بیشتر از ۹ در هر راستا تغییر محسوسی در جواب‌های به دست آمده مشاهده نمی‌شود. در شکل (۱۵) نمودار توزیع تغییر مکان فونونی u_x در راستای x در زمان‌های مختلف و با تعداد گره‌های مختلف نشان داده شده است. با مشاهده شکل درمی‌یابیم که با افزایش تعداد گره‌ها تغییرات محسوسی حاصل نشده است به عنوان مثال بین نمودارهای با تعداد گره ۷ و ۹ در هر دو راستای x و y تفاوت زیادی وجود ندارد. لذا می‌توان نتیجه گرفت که تعداد گره ۹ در هر راستا برای مسئله مناسب می‌باشد.

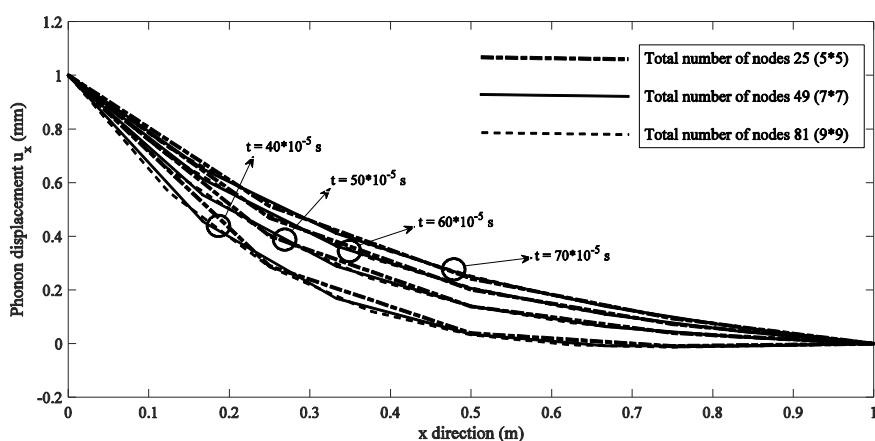
یکی از پارامترهای بسیار اثرگذار بر رفتار دینامیکی حالت گذرای تغییر مکان‌های فیزیکی، پارامتر R/c_{66} می‌باشد که به آن پارامتر کوپلینگ اطلاق می‌گردد. برای بررسی اثر این پارامتر بر روی تغییرات رفتار دینامیکی تغییر مکان فونونی w_x ، تغییرات این تغییر مکان در راستای x به ازای مقادیر مختلف R/c_{66} در شکل (۱۳) رسم شده است. همان‌گونه که در شکل (۱۳) مشخص است، میزان اثرپذیری w_x با افزایش مقدار پارامتر R/c_{66} ، افزایش می‌یابد. به عبارت دیگر با افزایش مقدار R/c_{66} ، مقادیر تغییر مکان فونونی w_x نیز افزایش می‌یابند. این پدیده در شکل (۱۴) که تغییرات w_x نسبت به زمان را نشان می‌دهد، نیز مشاهده می‌شود. رفتار مشابهی برای تغییر مکان فونونی w_y نیز مشاهده می‌گردد که به منظور جلوگیری از افزایش حجم مقاله از ارائه نمودارهای آن صرف نظر می‌گردد. به طور کلی، با افزایش R/c_{66} تغییر مکان



شکل ۱۳ توزیع تغییر مکان فونونی w_x در راستای x به ازای مقادیر مختلف پارامتر کوپلینگ



شکل ۱۴ تغییرات w_x نسبت به زمان به ازای مقادیر مختلف پارامتر کوپلینگ



شکل ۱۵ توزیع تغییر مکان فونونی u_x در راستای x در زمانهای مختلف و به ازای مقادیر مختلف تعداد گرهها

نتیجه گیری

روش تالوت، پاسخهای دینامیکی در حوزه زمان به دست آمده‌اند. رفتار دینامیکی حالت گذرای تغییر مکانهای فنونی و فیزیکی در حالات مختلف با استفاده از روش بدون مش اختلاف محدود تعمیم یافته حاصل شده است و در شرایط مختلف مورد بررسی قرار گرفته است. همچنین تأثیر پارامترهایی از قبیل پارامتر کوپلینگ روی رفتار دینامیکی حالت گذرای تغییر مکانهای فیزیکی به دست آمده است. با بررسی نتایج به دست آمده در این پژوهش، مشخص می‌شود که روش بدون مش اختلاف محدود تعمیم یافته

در این مقاله، تحلیل دینامیکی حالت گذرای دوبعدی مواد شبه کریستال با ساختار ده وجهی تحت بارگذاری به صورت شوک با استفاده از روش بدون مش اختلاف محدود تعمیم یافته انجام شده است. معادلات حرکت حاکم بر مسئله بر اساس مدل الاستوهیدرو دینامیک که برای مواد شبه کریستال ارائه شده است، انتخاب گردیده و حل شده‌اند. برای این منظور کلیه روابط با استفاده از تبدیل لاپلاس به محیط لاپلاس منتقل شده و پس از حل معادلات و به دست آوردن پاسخها با استفاده از

- روش کارآمد برای حل مسائل کوپل به‌خصوص حل معادلات حرکت حاکم بر مواد شبه کریستال به‌خصوص با ساختار ده‌وجهی می‌باشد. باتوجه به موارد مطرح شده در فوق، مهم‌ترین نتایج حاصل از این پژوهش را می‌توان به‌صورت زیر دسته‌بندی نمود:
- توسعه کاربرد روش بدون مش اختلاف محدود تعمیم یافته برای حل مسائل دینامیکی حالت گذرا برای مواد شبه کریستال و استخراج معادلات حرکت کوپل شده به‌شکل گسسته براساس روش بدون مش مذکور.
 - به‌دست آوردن پاسخ دینامیکی میدان‌های تغییر مکان فنونی و فیزی تحت اثر بارگذاری
 - به‌صورت شوک که بر میدان تغییر مکان فنونی اعمال شده است.
 - بررسی اثر برهم‌کنش (کوپل) بین تغییر مکان‌های فنونی و فیزی در تحلیل‌های دینامیکی حالت گذرا برای مواد شبه کریستال.
 - به‌دست آوردن گسترش تغییر مکان فنونی در ماده بر اثر شوک مکانیکی اعمال شده که با سرعت محدود حرکت می‌کند.
 - به‌دست آوردن طول مدت زمان ناحیه حالت گذرا با استخراج تغییرات هر دو تغییر مکان فنونی و فیزی نسبت به زمان.

مراجع

1. Shechtman, D., Blech, I., Gratias, D. and Cahn, J.W., "Metallic Phase with Long-range Orientational Order and No Translational Symmetry", *Phys. Rev. Lett.*, 53(20), pp. 1951-1953, (1984).
2. Fan, T.Y. and Mai, Y.W., "Elasticity Theory, Fracture Mechanics, and some Relevant Thermal Properties of Quasi – Crystalline Materials", *Appl. Mech. Rev.*, 57(5), pp. 325-343, (2004).
3. Shi, W., "Conservation Laws of a Decagonal Quasicrystal in Elastodynamics", *Eur. J. Mech. A Solids*, 24, pp. 217-226, (2005).
4. Fan, T.Y., "Mathematical Theory of Elasticity of Quasicrystals and its Applications", Science Press, Beijing and Springer – Verlag, Berlin, Heidelberg.
5. Fan, T.Y., Wang, X.F., Li, W. and Zhu, A.Y., "Elasto-hydrodynamics of Quasicrystals", *Philos. Mag.*, 89(6), pp. 501-512, (2009).
6. Bak, P., "Phenomenological Theory of Icosahedral Incommensurate (Quasiperiodic) Order in Mn-Al alloys", *Phys. Rev. Lett.*, 54, pp. 1517-1519, (1985).
7. Rochal, S.B. and Lorman, V.L., "Anisotropy of Acoustic-phonon Properties of an Icosahedral Quasicrystal at High Temperature due to Phonon-phason Coupling", *Phy. Rev. B*, 62 (2), pp. 874-879, (2000).
8. Rochal, S.B. and Lorman, V.L., "Minimal Model of the Phonon-phason Dynamics in Icosahedral Quasicrystals and its Application to the Problem of Internal Friction in the J-AlPdMn alloy", *Phy. Rev. B*, 66, pp. 1442041-1442049, (2002).
9. Kozinkina, Y.A., Lorman, V.L. and Rochal, S.B., "Anisotropy of the Phonon-phason Dynamics and the Pinning Effect in Icosahedral AlPdMn Quasicrystals", *Phy. Solid State*, 45(7), pp. 1315-1321, (2003).
10. Wang, X.F. and Fan, T.Y., "Study on the Dynamics of the Double Cantilever-beam Specimen of Decagonal Al-Ni-Co Quasicrystals", *Appl. Math. Comput.*, 211(2), pp. 336-346, (2009).
11. Agiasofitou, E. and Lazar, M., "The Elastodynamic Model of Wave– Telegraph Type for Quasicrystals", *Int. J. Solids Struc.*, 51, pp. 923-929, (2014).

12. Wang, X. and Pan, E., "Analytical Solutions for some Defect Problems in 1D Hexagonal and 2D Octagonal Quasicrystals", *Pranama-J. Phy.*, 70, pp. 911-933, (2008).
13. Li, W. and Fan, T., "Exact Solutions of the Generalized Dugdale Model of Two-dimensional Decagonal Quasicrystals", *Appl. Math. Comput.*, 218(7), pp. 3068–3071, (2011).
14. Sladek, J., Sladek, V. and Pan, E., "Bending Analyses of 1D Orthorhombic Quasicrystal Plates", *Int. J. Solid. Struct.*, 50, pp. 3975-3983, (2013).
15. Sladek, J., Sladek, V., Krahulec, S., Zhang, Ch. and Wunsche, M., "Crack Analysis in Decagonal Quasicrystals by the MLPG", *Int. J. Fract.*, 181, pp. 115-126, (2013).
16. Li, L.H., "Complex Potential Theory for the Plane Elasticity Problem of Decagonal Quasicrystals and its Application", *Appl. Math. Comput.*, 219 (19), pp. 10105–10111, (2013).
17. Guo, J.-H., Yu, J. and Si, R., "A Semi-inverse Method of a Griffith Crack in One-dimensional Hexagonal Quasicrystals", *Appl. Math. Comput.*, 219(14), pp. 7445-7449, (2013).
18. Çerdik Yaslan, H., "Equations of Anisotropic Elastodynamics in 3D Quasicrystals as a Symmetric Hyperbolic System: Deriving the Time-dependent Fundamental Solutions", *Appl. Math. Model.*, 37(18-19), pp. 8409-8418, (2013).
19. Hosseini, S.M., Sladek, J. and Sladek, V., "Elastodynamic Analysis of a Hollow Cylinder with Decagonal Quasicrystal Properties: Meshless Implementation of Local Integral Equations", *Crystals*, 6 (2016), Paper no. 94.
20. Benito, J.J., Urena, F. and Gavete, L., "Influence of Several Factors in the Generalized Finite Difference Method", *Appl. Math. Model.*, 25, pp. 1039–1053, (2001).
21. Benito, J.J., Urena, F., Gavete, L. and Alvarez, R., "An H-adaptive Method in the Generalized Finite Differences", *Comput. Meth. Appl. Mech. Eng.*, 192, pp. 735–759, (2003).
22. Gavete, L., Gavete, M.L. and Benito, J.J., "Improvements of Generalized Finite Difference Method and Comparison with Other Meshless Method", *Appl. Math. Model.*, 27, pp. 831–847, (2003).
23. Benito, J.J., Urena, F. and Gavete, L., "Solving Parabolic and Hyperbolic Equations by the Generalized Finite Difference Method", *J. Comput. Appl. Math.*, 209, pp. 208–233, (2007).
24. Benito, J.J., Urena, F., Gavete, L., Salet, E. and Muelas, A., "A GFDM with PML for Seismic Wave Equations in Heterogeneous Media", *J. Comput. Appl. Math.*, 252, pp. 40–51, (2013).
25. Gavete, L., Urena, F., Benito, J.J. and Salet, E., "A Note on the Dynamic Analysis Using the Generalized Finite Difference Method", *J. Comput. Appl. Math.*, 252, pp. 132–147, (2013).
26. Hosseini, S.M., "Elastic Wave Propagation and Time History Analysis in Functionally Graded Nanocomposite Cylinders Reinforced by Carbon Nanotubes Using a Hybrid Mesh-free Method", *Eng. Comput.*, 31(7), pp. 1261–1282, (2014).
27. Gu, Y., Wang, L., Chen, W., Zhang, C. and He, X., "Application of the Meshless Generalized Finite Difference Method to Inverse Heat Source Problems", *Eng. Anal. Bound. Elem. Method.*, 108, pp. 721-729, (2017).
28. Hosseini, S.M., "Application of a Hybrid Mesh-free Method for Shock-induced Thermoelastic Wave Propagation Analysis in a Layered Functionally Graded Thick Hollow Cylinder with Nonlinear Grading Patterns", *Eng. Anal. Bound. Elem. Method.*, 43, pp. 56–66, (2014).
29. Hosseini, S.M., "Shock-induced Two-dimensional Coupled Non-Fickian Diffusion-elasticity Analysis Using Meshless Generalized Finite Difference (GFD) Method", *Eng. Anal. Bound. Elem. Method.*, 61, pp. 232-240, (2015).
30. Cohen, A.M., "Numerical Methods for Laplace Transform Inversion", Springer-Verlag US, USA, (2007).
31. Bedford, A. and Drumheller, D.S., "Introduction to Elastic Wave Propagation", *John Wiley & Sons Ltd.*, Chichester, England (1994).